

Einf. i. d. Meth. d. theor. Physik II → EITP II

YS, E6-118 (Di: 10-12:30 u.n.V.)

www.physik.uni-bielefeld.de/~york/entp2

Orga Vorl Di: 8.15-9.00, 9.10-9.55 (H6)  
 in Pause:  $\bar{U}$ -Blatt holen (heute noch nicht)  $\hookrightarrow$  Ostern...  
 $\bar{U}$ -Liste eintragen (nur heute)

Übungen Do. 8-10, 10-12, 14-16

Tutorien: s. vor Pause

vor Vorl:  $\bar{U}$ -Lsn in Kasten

Regeln: 50%  $\bar{U}$ -Pkte + alt Mitarbeit  $\Rightarrow$   $\bar{U}$ -Schem

$\bar{U}$ -Schem + (eine) Klausur best  $\Rightarrow$  Schem

$\hookrightarrow$  alt OK

$\hookrightarrow$  17.7.07, 9.10.07

EITP I - Klausur: (Statistiks: 71% bestanden; Gratia !!)

Besprechung / Fragen diese Woche in  $\bar{U}$   $\rightarrow$  evtl. A-fg. zettel mitbringen

(neue Klausur?  $\rightarrow$  als Wdh der EITP I)

$\bar{U}$ -Schem: Pause

KI-Erfolg nicht EITP II - Voraussetzung.

EITP II: nicht schwerer als I. schöner!  
 interessanter!

Integrale, krumme Koordinaten,  $\delta$

Differenzial gln

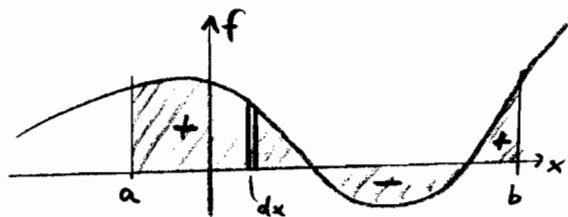
Felder, Integralrechen

Fourier - Trafo

LIT  $\rightarrow$  s. Web; Schulz PB

## 6. Integrale (+ deren Gebrauch i.d. Physik)

### 6.1. Gewöhnliche Integrale



Die so gezählte Fläche  
ist  $\{ \text{lin. Op.} \} f(x)$ , denn  
(v.a.)  $\{ \} (-f) = - \{ \} f$

$$\left( \begin{array}{l} \text{Fläche} \\ \text{zw. } a, b \end{array} \right) = \lim \sum (dx \cdot f(x)) =: \int_a^b dx f(x)$$

$$\int_a^b dx f := - \int_b^a dx f$$

$\int dx :=$  über alle  $x$ , d.h.

$$\int dx f := \int_{-\infty}^{\infty} dx f$$

$$\int dy := \int_{(2\pi)} dy$$

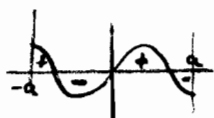
Dimension:  $[\int dx f] = [x][f]$ ,  $[a] = [b] = [x]$

$\int$ -Auswertung = Umformung, bis es trivial ist (d.h. die Fläche geometrisch abhältlich ist)

oder  $f = \partial_x(\dots)$ , s.u. "Hauptsatz"

Beispiele:  $\int_a^a dx f = 0$

$$\int_a^b dx \text{const}_x = (b-a) \cdot \text{const}_x \quad \left( \int_a^{a+\varepsilon} dx f(x) \xrightarrow{\varepsilon \rightarrow 0} \varepsilon f(a) \right)$$



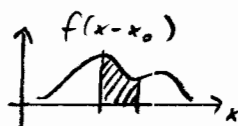
$$f \text{ ungerade} \Rightarrow \int_{-a}^a dx f = 0$$

$$f \text{ gerade} \Rightarrow \int_{-a}^a dx f = 2 \int_0^a dx f$$

$$\int_a^b dx (\alpha f + \beta g) = \alpha \int_a^b dx f + \beta \int_a^b dx g$$

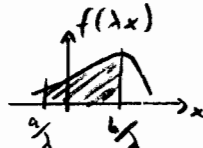
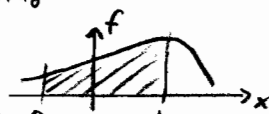
$$\int_a^b = \int_a^c + \int_c^b = \int_a^c - \int_b^c$$

Tricks: Verschieben



$$\int_a^b dx f(x) = \int_{a+x_0}^{b+x_0} dx f(x-x_0) \quad \left( \text{also } \begin{array}{l} f(x) \rightarrow f(x-x_0) \\ \text{Grenzen} \rightarrow \text{Grenzen} + x_0 \end{array} \right)$$

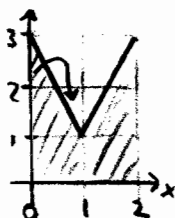
Skalieren



$$\int_a^b dx f(x) = \lambda \int_{a/\lambda}^{b/\lambda} dx f(\lambda x) \quad \left( \text{also } \begin{array}{l} x \rightarrow \lambda x \\ dx \rightarrow \lambda dx \\ \text{Grenzen} \rightarrow \text{Grenzen} / \lambda \end{array} \right)$$

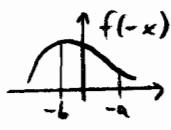
Anwendungs- Beispiel

$$\begin{aligned} J &= \int_0^2 dx (2|x-1|+1) && , \quad x \rightarrow x+1 \\ &= \int_{-1}^1 dx (2|x|+1) && , \quad x \rightarrow \frac{1}{2}x \\ &= \frac{1}{2} \int_{-2}^2 dx (|x|+1) && , \quad \text{gerade Fkt} \\ &= \int_0^2 dx (|x|+1) = \int_0^2 dx (x+1) && , \quad x \rightarrow x+1 \\ &= \int_1^3 dx (x+2) && , \quad x \text{ ist ungerade Fkt} \\ &= 2 \int_1^2 dx = 2 \cdot 2 = 4 \end{aligned}$$



(( einfacher Check hier: zeichnen  $f \rightarrow 2, J = 2 \cdot 2 = 4$  ))

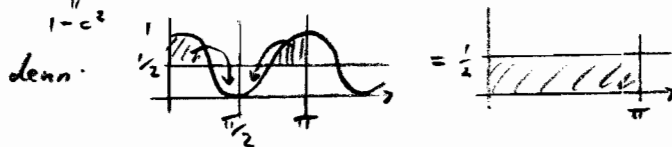
Spiegeln



$$\int_a^b dx f(x) = \int_{-b}^{-a} dx f(-x) = - \int_{-a}^{-b} dx f(-x) \quad \left( \hat{=} \text{Skalieren, } \lambda = -1 \right)$$

trig<sup>2</sup> → 1/2

$$\int_0^\pi dx \begin{Bmatrix} \cos^2(x) \\ \sin^2(x) \end{Bmatrix} = \int_0^\pi dx \cdot \frac{1}{2} = \frac{\pi}{2} ,$$

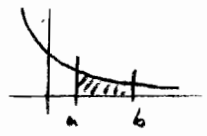


weil  $\cos^2(x) - \frac{1}{2} = \frac{1}{2} - \sin^2(x) = \frac{1}{2} = \cos^2(\frac{\pi}{2} - x)$

$$\lim_{a \rightarrow \infty} \frac{1}{a} \int_0^a dx \sin^2(x) = \frac{1}{2} ,$$

denn  $\frac{1}{N\pi + o(1)} \cdot (N \frac{\pi}{2} + o(1)) \rightarrow \frac{1}{2}$

∫ → dimensionslos z.B.:  $\int_0^{t_1} dt v(t) = \int_0^{t_1} dt v_0 f(\omega t)$ ,  $t \rightarrow \omega t$   
 $= \frac{v_0}{\omega} \int_0^{\omega t} dt f(t)$

∫ aus Σ (Scheibchen) z.B.: 

$$\int_a^b dx e^{-x} = \lim_{N \rightarrow \infty} \sum_{n=0}^N \frac{(b-a)}{N} e^{-(a+n \frac{b-a}{N})}$$

aus FS, Potenzreihe:  $\frac{1}{1-x} = 1+x+x^2+\dots+x^N + \frac{x^{N+1}}{1-x}$  (Skript S. 42)

$$= \lim_{N \rightarrow \infty} \frac{(b-a)}{N} e^{-a} \frac{1 - e^{-\frac{b-a}{N}(N+1)}}{1 - e^{-\frac{b-a}{N}}}$$

Nenner  $\rightarrow \frac{b-a}{N} + o(\frac{1}{N^2})$

$$= e^{-a} (1 - e^{-b+a}) = e^{-a} - e^{-b}$$

((  $\Rightarrow \int_0^\infty dx e^{-x} = 1$  ))

$$= [-e^{-x}]_{x=b} - [-e^{-x}]_{x=a} \quad (\text{geht das immer? su.})$$

"Hauptsatz"

$$\partial_b \int_a^b dx f(x) = \frac{\int_a^{b+\epsilon} dx f(x) - \int_a^b dx f(x)}{\epsilon} = \frac{\int_b^{b+\epsilon} dx f(x)}{\epsilon}$$

$$= \frac{1}{\epsilon} f(b) \cdot \epsilon = f(b)$$



Kennt man zu  $f(x)$  eine Stammfkt  $F(x)$ , d.h. eine Lösung der Dgl.  $F'(x) = f(x)$ , dann ist also

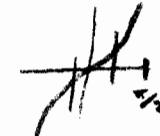

$$\partial_b \int_a^b dx f(x) = \partial_b F(b)$$

$$\int_a^b dx f(x) = F(b) + C$$

$$b \rightarrow a : 0 = F(a) + C$$

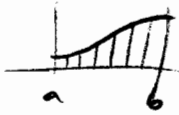
$$\boxed{\int_a^b dx f(x) = F(b) - F(a)}$$

Kommentare zum Hauptsatz

- <sub>1</sub> hilft nur, falls man  $f = \partial_x F$  lösen kann  
 ((  $f = \sin(x^2) = \partial_x (???)$  ))
- <sub>2</sub> warum es gilt:  $\int_a^b dx \frac{dF}{dx} = F$ -Zunahme ab  $F(a)$
- <sub>3</sub> Anwendung:  $\int_a^b dx \text{///} = \int_a^b dx \partial_x [??] = [ ]_a^b = [ ]_{x=b} - [ ]_{x=a}$
- <sub>4</sub> Wunschtabelle :  $\frac{1}{1+x^2} = \partial_x \arctan(x)$  etc.  
 wenn jedoch (s. Bronstein etc.) ,  $\int \frac{1}{1+x^2} dx = \arctan(x)$  ,  
 dann lese dies als Tabelle (nicht als Gleichg.:  $d??$ )
- <sub>5</sub>  $F$  in Tabelle gefunden  
 → zitieren , z.B. [Bronstein, 57]  
 → Probe , also  $\partial_x$  (rhs) bilden  
 (( sonst: Pkt-Abzug bei  $\bar{U}$  ))
- <sub>6</sub> Bsp:  $\int_{-\pi/6}^{\pi/4} dx \tan(x)$   ungerade!  
 $\int_{-\pi/6}^{\pi/4} dx \frac{\sin(x)}{\cos(x)}$  ,  $\partial_x \ln(\cos(x)) = -\frac{\sin(x)}{\cos(x)}$   
 $= [-\ln(\cos(x))]_{-\pi/6}^{\pi/4}$  ,  $\cos(\frac{\pi}{4}) = \frac{1}{\sqrt{2}}$  ,  $\sin(\frac{\pi}{6}) = \frac{1}{2}$    
 $= \ln(\frac{1}{\sqrt{2}}) - [-\ln(\frac{1}{\sqrt{1-\frac{1}{4}}})] = \frac{1}{2} \ln(2) + \frac{1}{2} \ln(\frac{3}{4}) = \frac{1}{2} \ln(\frac{3}{2})$
- <sub>7</sub>  $\int_a^{\infty} dx f = \lim_{b \rightarrow \infty} \int_a^b dx f$  : wenn endlich, dann: „es existiert“.  
 Bsp: existiert  $\int_0^{\infty} dx (\ln(1+e^x) - x)$  ?  
 $\int_0^{\infty} dx \ln(e^{-x}) \rightarrow \ln(1+e^{-x}) = e^{-x} + O(e^{-2x})$ , JA!
- <sub>8</sub> „Kandidaten-Methode“ :  
 $\int_0^1 dx \arctan(x) = \int_0^1 dx \partial_x [?]$   
 $\partial_x x \cdot \arctan(x) = \arctan(x) + \frac{x}{1+x^2}$  ,  $\partial_x \ln(1+x^2) = \frac{2x}{1+x^2}$   
 $\Rightarrow [?] = x \arctan(x) - \frac{1}{2} \ln(1+x^2)$   
 $= \arctan(1) - \frac{1}{2} \ln(2) - 0 - 0 = \frac{\pi}{4} - \frac{1}{2} \ln(2)$  ((  $\tan(\frac{\pi}{4}) = \frac{1/\sqrt{2}}{1/\sqrt{2}} = 1$  ))

## 6.2. Physik mit (gewöhnl.) Integralen

→ Anwendungsbsp. zur Integration!

Mittelwerte  $\frac{h_1+h_2}{2} = \bar{h}$ , Vervollg.: 

$$\bar{f} = \frac{\sum f_i \Delta x}{\text{Anzahl } \Delta x} = \frac{1}{b-a} \int_a^b dx f$$

$$\overline{f^2} = \frac{1}{b-a} \int_a^b dx f^2, \text{ etc.}$$

Eigenschaften:  $\overline{\alpha f + \beta g} = \alpha \bar{f} + \beta \bar{g}, \quad \overline{1} = 1$

Schwangung:  $\Delta f = \sqrt{\overline{(f-\bar{f})^2}} = \sqrt{\overline{f^2} - 2f\bar{f} + \bar{f}^2}$   
 $= \sqrt{\overline{f^2} - \bar{f}^2}$

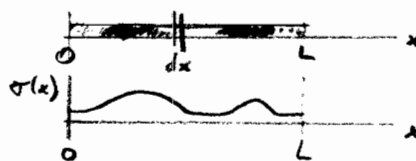
Bsp. harm. Osz.,  $x(t) = A \cos(\omega t)$ ,  $T = \frac{2\pi}{\omega}$ ,  $\omega^2 = \frac{k}{m}$  ( $m\ddot{x} = -kx$ )  
↑ Periode  
 $\bar{x} = \frac{1}{T} \int_0^T dt A \cos(\omega t) = 0$

mittl. kin. E  $\rightarrow \bar{T} = \frac{1}{T} \int_0^T dt \frac{m}{2} (A \omega \sin(\omega t))^2 = \frac{m}{4} \omega^2 A^2$   
↳ 1/2

mittl. pot. E  $\rightarrow \bar{V} = \frac{1}{T} \int_0^T dt \frac{k}{2} (A \cos(\omega t))^2 = \frac{k}{4} A^2 = \bar{T}$

$$\Delta x = \sqrt{\overline{x^2}} = \sqrt{\frac{2}{k} \bar{V}} = \frac{1}{\sqrt{2}} A$$

$\sigma(x)$  Massendichte

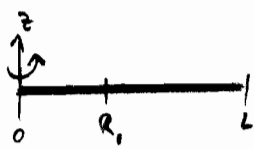


$$\sigma(x) := \frac{\text{Masse}}{\text{Länge}} = \frac{dm \text{ bei } x}{dx}$$

$$M = \sum m_a \rightarrow M = \int_0^L dx \sigma(x) \quad \text{Ges.-Masse}$$

$$R_1 = \frac{1}{M} \sum m_a x_a \rightarrow R_1 = \frac{1}{M} \int_0^L dx \sigma(x) x \quad \text{Schwerpunkt}$$

Ermeng: Drehimpuls  $\vec{L} = \vec{r} \times \vec{p} = \vec{r} \times m(\vec{\omega} \times \vec{r}) \equiv \mathbf{I} \vec{\omega}$  — Winkelgeschw.  
Trägheits tensor  
 starrer Körper,  $\mathbf{I} = \begin{pmatrix} I_{11} & & \\ & \ddots & \\ & & I_{33} \end{pmatrix}$ , z.B.  $I_{33} = \sum m_a (x_a^2 + y_a^2)$



$$\vec{L} = \begin{pmatrix} - & - & 0 \\ - & - & 0 \\ 0 & 0 & I_{33} \end{pmatrix} \begin{pmatrix} 0 \\ 0 \\ \omega \end{pmatrix} = \begin{pmatrix} 0 \\ 0 \\ I_{33} \omega \end{pmatrix}$$

$$I_{33} = \sum_a m_a (x_a^2 + y_a^2)$$

$$\rightarrow I_{33} = \int_0^L dx \sigma(x) x^2$$

Achse durch  
Ursprung

$$= \int_0^L dx \sigma(x) [(x-R_1)^2 + 2R_1(x-R_1) + R_1^2]$$

$$= I_{33}^S + 0 + MR_1^2 \quad \text{"Satz v. Steiner"}$$

↖ Achse durch Schwerpunkt.

Superposition

Grav. Pot. eines Stabes mit  $\sigma(x)$

Punktmasse  $M_a$  bei  $\vec{r}_a$  ziehen  $m$  bei  $\vec{r}$  an:

$$V(\vec{r}) = \sum_a \left( - \frac{m M_a}{\sqrt{(x-x_a)^2 + (y-y_a)^2 + (z-z_a)^2}} \right)$$

dünner Stab auf  $x$ -Achse:  $y_a=0, z_a=0$

$$\rightarrow V(\vec{r}) = -m \int_0^L dx' \frac{\sigma(x')}{\sqrt{(x-x')^2 + y^2 + z^2}}$$

↪ Integral sammelt hier die infinitesimalen Fernwirkungen

räuml. verteilten Ursachen auf. ( $\int dx' 0 \cdot \sigma(x')$ , da  $\sigma(x')=0$  außerhalb  $(0,L)$ )

1D Newton,  $K(t)$

$$\boxed{\ddot{v} = \frac{1}{m} K(t), v(t_0) = v_0}$$

(A) Integral sinnvoll, wenn

- keine Stammfkt. von  $K(t)$  zu finden ist
- $K(t)$  grafisch gegeben ist
- man noch allgemein bleiben will.

$$\int_{t_0}^t dt' \frac{d}{dt'} v(t') \stackrel{!}{=} \frac{1}{m} \int_{t_0}^t dt' K(t')$$

$$v(t) - v(t_0) \stackrel{!}{=}$$

(B) Integral nicht sinnvoll, wenn  $K(t)$  aufleitbar ist:

$$\boxed{\ddot{v} = \alpha \omega \cos(\omega t), v(t_0) = v_0}$$

$$\stackrel{!}{=} \alpha \frac{d}{dt} \sin(\omega t)$$

$$\Rightarrow v = \alpha \sin(\omega t) + C$$

$$v_0 = \alpha \sin(\omega t_0) + C \Rightarrow C ;$$

1D Newton,  $K(x)$  (evtl. unlösbar)

$$m\ddot{x} = K(x) = -\partial_x V(x) \quad \parallel \cdot \dot{x}$$

$$\partial_t \left( \frac{m}{2} \dot{x}^2 \right) = -\partial_t V(x(t))$$

$$\frac{m}{2} \dot{x}^2 = E - V(x)$$

$$\dot{x} = \pm \sqrt{\frac{2}{m} (E - V(x))}$$

((immerhin eine Ableitung weniger!))

$$\Rightarrow \frac{\dot{x}}{\sqrt{E - V(x)}} = \pm \sqrt{\frac{2}{m}} \quad (*)$$

(B):  $\partial_t [?] = G = \sqrt{\frac{2}{m}} t$ ,  $G = \dots$ , nach  $x$  auflösen

(( [?] ist Stammfkt. v.  $\frac{1}{\sqrt{E - V(x)}}$  bzgl.  $x$  ))

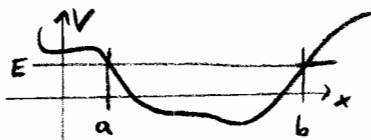
(A): (finde [?] nicht, oder will  $V(x)$  nicht spezifizieren!)

Strategie: (\*) $\cdot dt$  ( $\dot{x} dt = dx$ ) und  $\int$  darüber [§7: "Trennung der Variablen"]

$$\int_{x(t_0)}^{x(t)} \frac{dx'}{\sqrt{E - V(x')}} = \pm \sqrt{\frac{2}{m}} \int_{t_0}^t dt' = \pm \sqrt{\frac{2}{m}} (t - t_0)$$

$$t = t_0 \pm \int_{x(t_0)}^{x(t)} dx \frac{\sqrt{m/2}}{\sqrt{E - V(x)}}$$

Periode T?



$$T = 2 \int_a^b dx \frac{\sqrt{m/2}}{\sqrt{E - V(x)}}$$

Arbeit (1D) := Kraft  $\cdot$  Weg

$$= \sum (d\text{Weg}) \cdot \text{Kraft}$$

= pos., wenn Weg in Richtung Kraft

= dem System zugeführte Energie (Arbeit am System)

$$A = \int_a^b dx K(x) = - \int_a^b dx \partial_x V(x)$$

$$= V(a) - V(b)$$



### 6.3. Integrations - "Methoden"

((  $\hat{=}$  Umformungs-Möglichkeiten zur Int.-Chance-Erhöhung ))

Man erkenne, daß es Sinn macht, den Integranden  $f(x)$  zu lesen ...

... als Partialbruch

$$f = \frac{1}{1-x^2} = \frac{1}{(1+x)(1-x)} = \frac{1}{2} \left( \frac{1}{1+x} + \frac{1}{1-x} \right) = \partial_x \frac{1}{2} [\ln(1+x) - \ln(1-x)]$$

... als u'v (partielle Integration)

$$f = u'v = \partial_x(uv) - uv'$$

$$\Rightarrow \int_a^b dx u'v = [uv]_a^b - \int_a^b dx uv'$$

$$\text{Bsp: } I = \int_0^1 dx \underbrace{2x}_{u'} \underbrace{\ln(x)}_v = \underbrace{[x^2 \ln(x)]_0^1}_{=0} - \int_0^1 dx x = -\frac{1}{2} + 0$$

$u = x^2 \quad v' = \frac{1}{x}$

wenn keine Randterme, dann:  $\partial_x \rightarrow -\overleftarrow{\partial}_x$ :

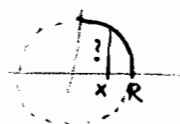
$$\begin{aligned} &= \int_0^1 dx \ln(x) \partial_x x^2 = - \int_0^1 dx x^2 \overleftarrow{\partial}_x \ln(x) \\ &= - \int_0^1 dx x = -\frac{1}{2} \quad \checkmark \end{aligned}$$

... als  $f(x(t))$  (Substitution)

$x = x(t)$  Sei monoton in  $(a, b)$ ,  $\Rightarrow t = t(x)$

$$\int_a^b dx f(x) = \int_{t(a)}^{t(b)} dt \frac{dx}{dt} f(x(t))$$

Bsp1: Kreis (R) - Fläche



$$F(x) = 4 \int_0^R dx \sqrt{R^2 - x^2}$$

setze  $x = R \sin(\varphi)$  ((  $t$  heißt jetzt  $\varphi$  ))

$$\Rightarrow \frac{dx}{d\varphi} = R \cos(\varphi)$$

$$x_{\text{unten}} = 0 = x(\varphi=0)$$

$$x_{\text{oben}} = R = x(\varphi = \frac{\pi}{2})$$

$$= 4 \int_0^{\pi/2} d\varphi R \cos(\varphi) R \sqrt{1 - \sin^2(\varphi)} = 4 R^2 \int_0^{\pi/2} d\varphi \underbrace{\cos^2(\varphi)}_{\rightarrow \frac{1}{2}} = \pi R^2$$

(( besser? aus  $U = 2\pi R$ :   $\rightarrow$    $F_{(x)} = R \cdot \frac{1}{2} 2\pi R = \pi R^2$  ))

Bsp 2

$$I = \int_0^1 dx \, 2x \ln(x)$$

$$\text{setze } t = \ln(x) \Rightarrow x = e^t, \quad x' = e^t$$

$$x_u = 0 \text{ bei } t = -\infty, \quad x_0 = 1 \text{ bei } t = 0$$

$$= \int_{-\infty}^0 dt \, e^t \cdot 2e^t t \quad (\text{num } \lambda\text{-Tricks mit } \lambda = -1)$$

$$= -2 \int_0^{\infty} dt \, e^{-2t} (-t) = -2 \int_0^{\infty} dt \, t e^{-2t} \quad (t \rightarrow t_2)$$

$$= -\frac{1}{2} \int_0^{\infty} dt \, \underbrace{t}_{v'} \underbrace{e^{-t}}_{u'} = -\frac{1}{2} \int_0^{\infty} dt \, t (-u') e^{-t} = -\frac{1}{2} \int_0^{\infty} dt \, e^{-t} = -\frac{1}{2} \quad (s. \downarrow)$$

Bsp 3 ( "uneigentliche" Integrale sind eigentlich eigentliche )

$$\int_0^{\infty} dx \, e^{-x} = \int_1^{\infty} dt \, (-\frac{1}{t}) t = \int_0^1 dt = 1$$

$$= t, \quad x = -\ln(t)$$

... als  $\partial_\alpha$  von ... ( Differentiation nach Parameter )

$$\int_0^{\infty} dx \, x^n e^{-x} = \left[ (-\partial_\alpha)^n \int_0^{\infty} dx \, e^{-\alpha x} \right]_{\alpha=1} \stackrel{\uparrow}{=} \left[ \frac{n!}{\alpha^{n+1}} \right]_{\alpha=1} = n!$$

$$\underbrace{\int_0^{\infty} dx \, e^{-\alpha x}}_{= \frac{1}{\alpha}}$$

$$\left( (-\partial_\alpha) \frac{1}{\alpha} = +\frac{1}{\alpha^2}, \quad (-\partial_\alpha) \frac{1}{\alpha^2} = \frac{2}{\alpha^3}, \dots \right)$$

... als Parameter-abhängig ( vgl. Übung, Aufgabe 42 )

$$\partial_\beta \int_0^{\infty} dx \, \frac{x}{e^{\beta x+1}} = -\beta \partial_\beta \int_0^{\infty} dx \, \frac{x}{e^{\beta x+1}}$$

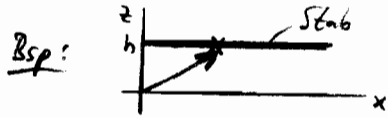
$$= -\beta \partial_\beta \left[ -2/\beta + \ln(\dots) \right] = 2$$

## 6.4. Kurven- u.a. Integrale

Strategie: alle auf gewöhnliche Int. zurückführen.

Integral = Summe. also

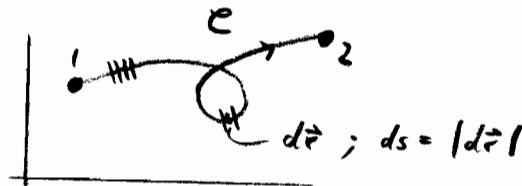
$$\int_a^b dx \vec{f}(x) = \left( \int_a^b dx f_1(x), \int_a^b dx f_2(x), \dots \right)$$



$$\vec{R} = \frac{1}{M} \int_0^L dx \sigma(x) (x, 0, h) = (R, 0, h)$$

Schwerpt.

### Kurvenintegral



"C gegeben" =  $\vec{r}(t), t_1, t_2$ .

↳ Raumkurve  $(\vec{r}_1 = \vec{r}(t_1), \vec{r}_2 = \vec{r}(t_2), \text{ ggf. } t_1 \text{ aus } \vec{r}_1\text{-Angabe})$

Bsp für Gebrauch von Kurvenint.:

$$\text{Länge von } C = \int_C ds = \int_1^2 ds$$

$$M = \int_1^2 ds \sigma(\vec{r})$$

Draht-Gesamtmasse

$$M\vec{R} = \int_1^2 ds \sigma(\vec{r}) \vec{r}$$

Draht-Schwerpt.

$$V(\vec{r}) = -\gamma m \int_1^2 ds' \sigma(\vec{r}') \frac{1}{|\vec{r}-\vec{r}'|}$$

Draht-Gravi-Pot.

$$A = \int_1^2 d\vec{r} \cdot \vec{K}$$

Arbeit entlang Weg C  
(auch wenn  $\vec{K}$  kein  $V$  hat)

Ausrechnen von Kurvenint.:

$$d\vec{r} = dt \cdot \frac{d\vec{r}}{dt}, \text{ bzw. } ds = dt \cdot |\dot{\vec{r}}|$$

$$\text{z.B. } A = \int_{t_1}^{t_2} dt \dot{\vec{r}} \cdot \vec{K}(\vec{r}(t))$$

folgendes "Rezept" nützlich:

" $\int_C$  - Fahrplan"

am Bsp Kreisumfang

1. Größe, d.h.  $\int_C$ -Art
2. spezif.  $C$
3.  $t_1, t_2$
4.  $\dot{r} =: \vec{v}$ , ggf  $v$  bilden  
 $t$ -Integral
5.  $\dot{r}(t)$  in Integral einsetzen
6. ggf. Skalarprod. ausführen
7. gew. Int. auswerten

$$U = \int_{\text{Kreis}} ds$$

$$\vec{r}(t) = R(\cos(t), \sin(t), 0)$$

$$t_1 = 0, t_2 = 2\pi$$

$$\vec{v} = R(-s, c, 0)$$

$$U = \int_0^{2\pi} dt R$$

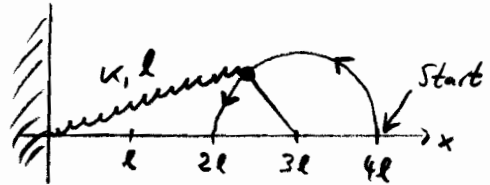
- entfällt -

- entfällt -

$$U = R \cdot 2\pi$$

Bsp: Parabel

Arbeit  $A$  als Kurvenintegral!  
(Fahrplan-Illustration.)



(( Vorweg: es muß  $A \stackrel{!}{=} V_{\text{Start}} - V_{\text{Ende}}$  herauskommen

$$= \frac{k}{2}(4l-l)^2 - \frac{k}{2}(2l-l)^2 = \frac{k}{2}l^2(9-1) = 4kl^2 ))$$

$$1. A = \int_C ds \cdot \vec{u}(\vec{r}), \quad \vec{u}(\vec{r}) = k \left( \frac{-\vec{r}}{r} \right) (r-l)$$

$\leftarrow \vec{e}_m \rightarrow \text{Mitten}$

$$2. C: \vec{r}(t) = l(3 + \cos(t), \sin(t))$$

$$3. t_1 = 0, t_2 = \pi$$

$$4. \dot{\vec{r}} = \vec{v} = l(-s, c)$$

$$A = \int_0^\pi dt l(-s, c) \cdot k(-\vec{r}) \left(1 - \frac{l}{r}\right)$$

$$5. r = |\vec{r}| = l\sqrt{9 + 6c + c^2 + s^2} = l\sqrt{10 + 6c}$$

$$6. A = l^2 k \int_0^\pi dt \underbrace{(-s, c) \cdot (-3-c, -s)}_{= 3s + sc - sc} \left(1 - \frac{l}{\sqrt{10+6c}}\right)$$

$$7. = 3l^2 k \int_0^\pi dt \left( \sin(t) - \frac{\sin(t)l}{\sqrt{10+6\cos(t)}} \right)$$

$$= \partial_t \left[ -\cos(t) + \frac{1}{3} \sqrt{10+6\cos(t)} \right]$$

$$= 3l^2 k \left( 1 + \frac{1}{3}\sqrt{4} + 1 - \frac{1}{3}\sqrt{16} \right) = 4l^2 k \quad \checkmark$$

5  $\int_C$  - Art:  $\int_C ds \begin{cases} \phi \\ \vec{A} \end{cases}$  ist Skalar,  $\int_C d\vec{r} \begin{cases} \phi \\ \vec{A} \\ x\vec{A} \end{cases}$  ist V. S. V.

manchmal geometrisch auswertbar, z.B.:

$\vec{E} = \alpha \vec{e}_3 \times \vec{r}$ ,

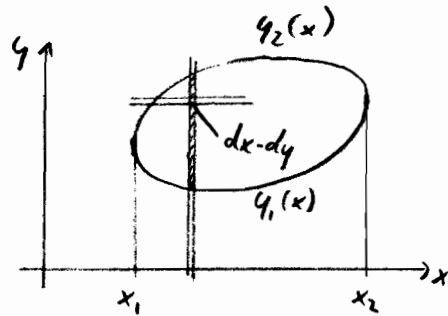
$\oint_{\text{Kreis}(R)} d\vec{r} \times \vec{E} = \vec{0}$  (weil  $d\vec{r}$  stets  $\parallel \vec{E}$ )

$\oint_{\text{Kr.}(R)} d\vec{r} \cdot \vec{E} = 2\pi R \cdot \alpha R$  (weil  $d\vec{r} \cdot \vec{E} = ds \cdot |\vec{E}| = ds \cdot \alpha R$ )

oft hilft,  $C$  geschickt zu legen!

ebenes Flächenint.

$\phi(x,y) = \frac{\text{etwas}}{\text{Fläche}}$  ← Masse, Hon, ...



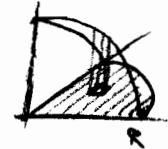
gegeben, dann

gesamtes etwas } =  $\int_{\mathbb{F}} d^2r \cdot \phi(x,y) = \int_{x_1}^{x_2} dx \int_{y_1(x)}^{y_2(x)} dy \phi(x,y)$   
 ↗ ausrechnen  
 Streifen-etwas

(( Randkurve? Immer? ))



Bsp Kugelvolumen

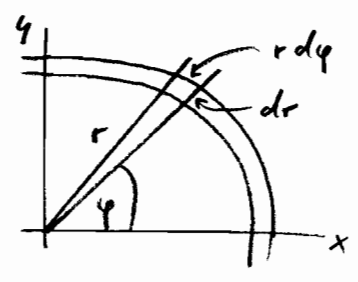


$x_1=0, x_2=R, y_1(x)=0, y_2(x)=\sqrt{R^2-x^2}, \phi = \text{Höhe} = \sqrt{R^2-(x^2+y^2)}$

$V_R = 8 \cdot \int_0^R dx \int_0^{\sqrt{R^2-x^2}} dy \sqrt{R^2-x^2-y^2}$ ,  $y \rightarrow \sqrt{R^2-x^2} y$   
 $= 8 \cdot \int_0^R dx (R^2-x^2) \int_0^1 dy \sqrt{1-y^2}$   $\xrightarrow{y = \sin(\varphi), \frac{dy}{d\varphi} = \cos(\varphi)}$   
 $= \int_0^{\pi/2} d\varphi \cos^2(\varphi) = \pi/4$   
 $\xrightarrow{x \rightarrow Rx}$   
 $= 2\pi R^3 \int_0^1 dx (1-x^2) = \frac{4\pi}{3} R^3$   
 $= 1 - [\frac{1}{3} - 0] = \frac{2}{3}$

im letzten Bsp: kugeliges kartesisch?  $\varphi$   
brauchen "runde" Koordinaten!

Polar koordinaten



$$d^2r = dr r d\varphi$$

$$x = r \cos(\varphi), \quad y = r \sin(\varphi)$$


$$r = \sqrt{x^2 + y^2}, \quad \varphi = \arctan\left(\frac{y}{x}\right) + n \cdot \pi$$

( $\varphi$  in  $(0, 2\pi)$ :  $n = 1 + \theta(x) - 2\theta(x)\theta(y)$ )



$$\int_{\mathcal{F}} d^2r \phi = \int_{\varphi_1}^{\varphi_2} d\varphi \int_{r_1(\varphi)}^{r_2(\varphi)} dr r \phi(r, \varphi)$$

Test an Kreisfläche ( $\stackrel{?}{=} \pi R^2$ )

$\phi = 1$ , ,  $4 \int_0^{\pi/2} d\varphi \int_0^R dr r = 4 \cdot \frac{\pi}{2} \cdot \frac{1}{2} R^2 \checkmark$

Bsp Kegelvolumen

$$V_R = 8 \int_0^{\pi/2} d\varphi \int_0^R dr r \sqrt{R^2 - r^2}$$

$r \rightarrow Rr$

$$= 4\pi R^3 \int_0^1 dr r \sqrt{1 - r^2} = 2\pi \left[ -\frac{1}{3} (1 - r^2)^{3/2} \right]$$

$$= 4\pi R^3 \left( 0 + \frac{1}{3} \right) = \frac{4}{3} \pi R^3 \checkmark$$

Bsp Galaxie mit  $\frac{\text{Masse}}{\text{Fläche}} =: S = S_0 e^{-r^2/a^2}$ ,  $M = ?$

$M = \int d^2r S$  ganze Ebene

$$= S_0 \int_0^{2\pi} d\varphi \int_0^{\infty} dr r e^{-r^2/a^2}, \quad r \rightarrow ar$$

$$= S_0 2\pi a^2 \int_0^{\infty} dr r e^{-r^2} = 2\pi \left[ -\frac{1}{2} e^{-r^2} \right]$$

$$= S_0 2\pi a^2 \left( 0 + \frac{1}{2} \right) = S_0 \pi a^2$$

Nebenprodukt des letzten Bsp: zu  $S_0=1$ ,  $a=1$  ist

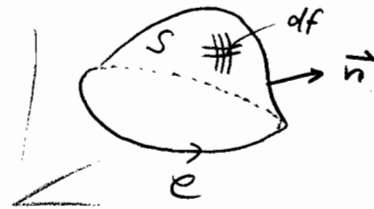
$$\pi = \int d^2r e^{-r^2} = \int dx \int dy e^{-x^2-y^2} = \left( \int dx e^{-x^2} \right)^2$$

$$\Rightarrow \int dx e^{-x^2} = \sqrt{\pi}, \quad \int_0^\infty dx e^{-x^2} = \frac{1}{2} \sqrt{\pi}$$

### Oberflächen-Int.

gegeben:  $S$ , Rand  $\mathcal{C}$  mit Richtung,

$$\frac{\text{etwas}}{\text{Fläche}} = \phi(\vec{r}), \quad \vec{A}(\vec{r}).$$



Sei  $\vec{n}$  ein Normalenvektor (Einheits-Vektor nach "außen" [rechte-Hand-Regel])

$\Rightarrow$  kann  $df \cdot \vec{n} =: d\vec{f}$  bilden.

also: es gibt 5 Arten  $\int_S$ :  $\int_S df \cdot \begin{cases} \phi \\ \vec{A} \end{cases}$ ,  $\int_S d\vec{f} \cdot \begin{cases} \phi \\ \cdot \vec{A} \\ \times \vec{A} \end{cases}$

Anwendungs-Bsp: Strom durch Fläche  $S =: I_S$

zu gegebener Ladungs-Stromdichte  $\vec{j}$

$$\text{Strom} = \frac{\text{Ladung}}{\text{zeit}}, \quad \vec{j} = \frac{\text{Ladung}}{\text{zeit} \cdot \text{Fläche}} \vec{e}$$



nur  $j_{\perp S} = j_{\parallel \vec{n}}$  erzeugt Strom  $df \cdot j_{\parallel \vec{n}} = df (j \cdot \vec{n}) = d\vec{f} \cdot \vec{j}$

$$\Rightarrow I_S = \int_S d\vec{f} \cdot \vec{j}(\vec{r})$$

Ausrechen ?!  $S$  gegeben  $\Rightarrow$  finde  $\vec{r}(s,t)$

kann  $\partial_s \vec{r} =: \vec{r}'$  und  $\partial_t \vec{r} =: \vec{r}''$  bilden

brauche Flächenelement  $d\vec{f}$ :

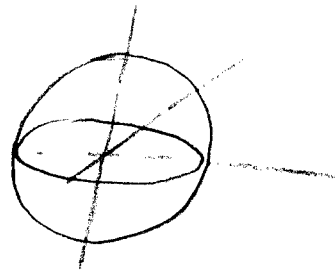
$$d\vec{r}_1 = ds \vec{r}', \quad d\vec{r}_2 = dt \vec{r}''$$

$$d\vec{f} = d\vec{r}_1 \times d\vec{r}_2 = ds dt \vec{r}' \times \vec{r}''$$

$$I_S = \int_{\substack{\mathbb{F} \\ s,t\text{-Ebene}}} ds dt (\vec{r}' \times \vec{r}'') \cdot \vec{j}$$

von  $s,t$  abhängig

$\Rightarrow$  habe auf ebenes Flächen-Int zurückgeführt.

Bsp Kugeloberfläche

$$S_R = 2 \cdot \int_{S_{\text{oben}}} df$$

$s, \varphi$ : Polarcoord.  $s, \varphi$  in  $xy$ -Ebene

$$\vec{r}(s, \varphi) = (s \cos(\varphi), s \sin(\varphi), \sqrt{R^2 - s^2})$$

$$S_R = 2 \int_0^R ds \int_0^{2\pi} d\varphi |\vec{r}' \times \vec{r}''| \cdot \{\phi=1\}$$

$$\vec{r}' = \partial_s \vec{r} = (c, s, -\frac{s}{r}) \quad , \quad \vec{r}'' = \partial_\varphi \vec{r} = (-s\varphi, s\varphi, 0)$$

$$\vec{r}' \times \vec{r}'' = \left( \frac{s^2 c}{r}, \frac{s^2 s}{r}, s \right)$$

$$|\vec{r}' \times \vec{r}''| = \sqrt{\frac{s^4}{r^2} + \frac{s^4}{r^2}} = \frac{sR}{r}$$

$$= 2 \cdot 2\pi \cdot R \int_0^R ds \frac{s}{\sqrt{R^2 - s^2}} = 2s [-\sqrt{R^2 - s^2}] = 4\pi R^2$$

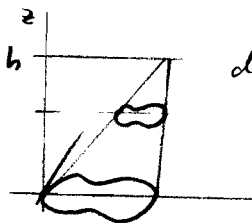
Test Kugelvolumen  $V_R$ 

könnte  $V_R$  aus infin. Pyramiden ( $\sim df$ ,  $\sim$  Höhe  $R$ ) aufbauen.

Es muß  $V_R = \int \text{Pyr.-Voll.} = \int df \cdot R \cdot \lambda = \lambda R S_R$  gelten.

$\lambda = ?$

Beh.: Jede Pyramide hat Vol. =  $\frac{1}{3} \cdot$  Grundfläche  $\cdot$  Höhe



$$\text{denn: } V_{F,h} = \int_0^h dz \cdot F \cdot \left(\frac{h-z}{h}\right)^2 = \frac{F}{h^2} \left[ h^2 z - h z^2 + \frac{z^3}{3} \right]_0^h = \frac{1}{3} F h \Rightarrow \lambda = \frac{1}{3}$$

$$\frac{4\pi}{3} R^3 \stackrel{?}{=} \frac{1}{3} \cdot R \cdot 4\pi R^2 \quad \checkmark$$

(( Welt nicht nur aus Drähten, Höhen usw. — auch aus Kartoffeln! ))

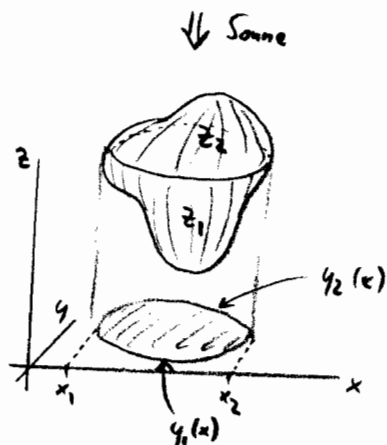


## Volumenintegral

gegeben:  $\frac{\text{etwas}}{\text{Volumen}} =: \phi(x, y, z)$

und  $V$ , d.h.  $x_1, x_2, y_1(x), y_2(x)$   
und  $z_1(x, y), z_2(x, y)$ .

$$dx dy dz =: d^3r$$



$$\left. \begin{array}{l} \text{Gesamtes} \\ \text{etwas in } V \end{array} \right\} = \int_V d^3r \phi$$

$$\left. \begin{array}{l} \text{Auswertung} \\ \text{kartesisch} \end{array} \right\} = \int_{x_1}^{x_2} dx \int_{y_1(x)}^{y_2(x)} dy \int_{z_1(x, y)}^{z_2(x, y)} dz \phi(x, y, z)$$

↳ Würfel in Säule bei  $x, y$   
↳  $\Sigma$  Säulen in Scheibe bei  $x$   
↳  $\Sigma$  Scheibchen

wenn  $g(\vec{r}) = \frac{\text{Ladung}}{\text{Volumen}}$ , dann (gesamte Ladung in  $V$ ) =  $Q_V = \int_V d^3r g(\vec{r})$

wenn  $g = \frac{\text{Masse}}{\text{Vol.}}$ , dann  $\left. \begin{array}{l} \text{Vol.} \\ M \\ M\vec{r} \\ I_{jk} \end{array} \right\} = \int_V d^3r \left\{ \begin{array}{l} 1 \\ g \\ g\vec{r} \\ g(r^2\delta_{jk} - x_j x_k) \end{array} \right.$

$$V(\vec{r}) = -\mu_m \int_V d^3r' \frac{g(\vec{r}')}{|\vec{r} - \vec{r}'|}$$

4 Fragen

$$1) V_R \stackrel{?}{=} \int_V d^3r \cdot 1 = 8 \cdot \int_0^R dx \int_0^{\sqrt{R^2-x^2}} dy \int_0^{\sqrt{R^2-x^2-y^2}} dz, \quad \text{JA.}$$

2) obige Formeln ohne  $V$ -Index schreiben, d.h.  
über ganzen Raum? JA,  $g=0$  außerhalb  $V$ .

3) Wie folgen  $\int_{\text{Diverg.}}$ ,  $\int_{\text{Kont.}}$  aus  $\int_V$ ?  $\Rightarrow$  s. § 6.6

4) 3D "runde" Koord.?  $\Rightarrow$  fehlt, § 6.5.

## 6.5. Krummlinige Koord.

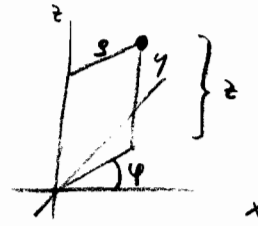
Zylinderkoord.:  $\rho, \varphi, z$

$$x = \rho \cos(\varphi)$$

$$y = \rho \sin(\varphi)$$

$$z = z$$

$$d^3r = \underbrace{d\rho}_{\text{Länge}} \underbrace{\rho}_{\text{Länge}} \underbrace{d\varphi}_{\text{Länge}} \underbrace{dz}_{\text{Länge}} = \text{"Ballon-Vol. am Wasserturm"}$$



Kugelkoord.:  $r, \vartheta, \varphi$

$$x = r \sin(\vartheta) \cos(\varphi)$$

$$y = r \sin(\vartheta) \sin(\varphi)$$

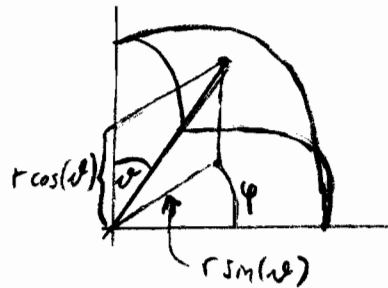
$$z = r \cos(\vartheta)$$

$$d^3r = \text{Höhe} \cdot (\text{NS-Breite}) \cdot (\text{W-O-Breite})$$

$$= dr \cdot r d\vartheta \cdot r \sin(\vartheta) d\varphi$$

$$= dr \cdot \underbrace{r^2 d\vartheta \sin(\vartheta) d\varphi}_{\equiv d\Omega = \text{Haus-Grundfläche} / r^2}$$

→ "Haus-Grundfläche"



Bsp  $V_R = \int_{\text{Kugel}(R)} d^3r \cdot 1$

$$= \int_0^R dr r^2 \underbrace{\int_0^\pi d\vartheta \sin(\vartheta)}_2 \underbrace{\int_0^{2\pi} d\varphi}_{2\pi}$$

$$\left( \Rightarrow d\Omega = 4\pi = \text{das max. Raumwinkel} \right. \\ \left. = \frac{S_R}{r^2} \Rightarrow S_R = 4\pi r^2 \right)$$

$$= \frac{4\pi}{3} R^3 \quad \checkmark$$

Gravi-Pot. bei kugelförmiger Massenverteilung  $\rho(r)$ :  
 oder Pfad

$$V(\vec{r}) = -\gamma m \int d^3r' \frac{\rho(\vec{r}')}{|\vec{r}-\vec{r}'|}$$

$$\text{Nenner} = \sqrt{r^2+r'^2-2\vec{r}\vec{r}'}$$

$$= -\gamma m \int_0^\infty dr' r'^2 \rho(r') \int_{(\Omega')} d\varphi' \int_0^\pi d\vartheta' \sin(\vartheta') \frac{1}{\sqrt{r^2+r'^2-2r r' \cos(\vartheta')}} \frac{1}{r^2}$$

während  $\vec{r}'$ -Integration ist  $\vec{r}$  fest.  
 $\Rightarrow$  orientiere  $\vec{r}'$ -Kugelkoord. um  $\vec{r}$  als "z-Achse"  
 $\Rightarrow \vec{r}\vec{r}' = r r' \cos(\vartheta')$



$$= -\gamma m 2\pi \int_0^\infty dr' r'^2 \rho(r') \int_0^\pi d\vartheta' \frac{\sin(\vartheta')}{\sqrt{r^2+r'^2-2r r' \cos(\vartheta')}}$$

generell:

$$\int_0^\pi d\vartheta \sin(\vartheta) f(\cos(\vartheta)) = \int_{-1}^1 du f(-u) = \int_{-1}^1 du f(u)$$

Subst.  $u = -\cos(\vartheta)$

$$du = d\vartheta \sin(\vartheta)$$

$$= -\gamma m 2\pi \int_0^\infty dr' r'^2 \rho(r') \int_{-1}^1 du \left( \frac{1}{\sqrt{r^2+r'^2+2r r' u}} = \partial_u \frac{1}{r r'} \sqrt{\dots} \right)$$

$$= -\gamma m \frac{2\pi}{r} \int_0^\infty dr' r' \rho(r') \left[ \sqrt{(r+r')^2} - \sqrt{(r-r')^2} \right]$$

Jacobi-Determinante

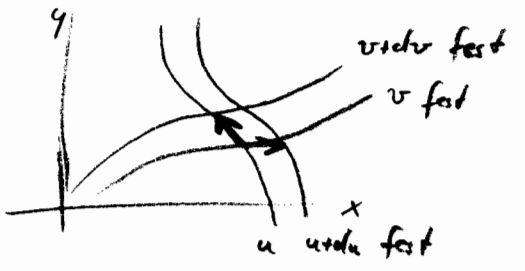
allg. krumme Koord., hier 2D ((denke an Polarkoord.)):

$$\left. \begin{matrix} x = x(u, v) \\ y = y(u, v) \end{matrix} \right\} \vec{r}(u, v)$$

$$d^2r = |d\vec{r}_1 \times d\vec{r}_2|$$

mit  $d\vec{r}_1 = du \partial_u \vec{r}$

und  $d\vec{r}_2 = dv \partial_v \vec{r}$ .



$$\begin{aligned}
 d^2r &= du dv \left| (\partial_u x, \partial_u y, 0) \times (\partial_v x, \partial_v y, 0) \right| \\
 &= du dv \left| (0, 0, (\partial_u x)\partial_v y - (\partial_u y)\partial_v x) \right| \\
 &= du dv \left| \begin{vmatrix} \partial_u x & \partial_u y \\ \partial_v x & \partial_v y \end{vmatrix} \right| \quad \left( \left| \begin{vmatrix} a & b \\ c & d \end{vmatrix} \right| = ad - bc \right)
 \end{aligned}$$

Jacobi-Det.

$$\Rightarrow \boxed{
 \begin{aligned}
 d^2r &= du dv |J| \\
 \text{mit } J &= \begin{vmatrix} \partial_u x & \partial_u y \\ \partial_v x & \partial_v y \end{vmatrix} =: \frac{\partial(x,y)}{\partial(u,v)}
 \end{aligned}
 }$$

Bsp Test mit Polarbeord:  $u=r, v=\varphi$

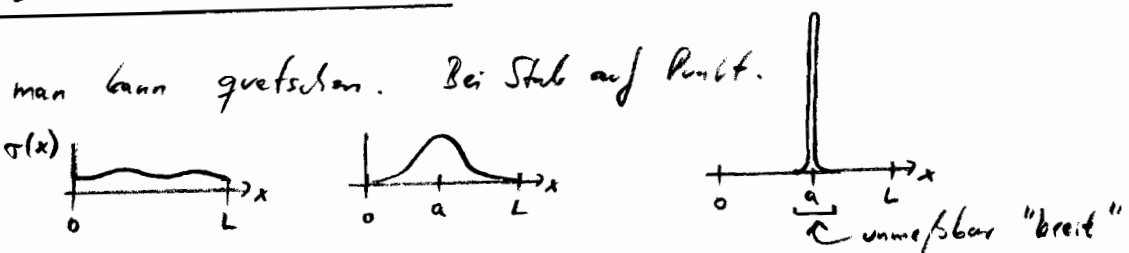
$$\begin{aligned}
 x &= r \cos(\varphi) \\
 y &= r \sin(\varphi)
 \end{aligned}
 \quad J = \begin{vmatrix} r & -r\sin\varphi \\ 0 & r\cos\varphi \end{vmatrix} = r \quad \checkmark$$

Bsp Test mit Kugelbeord: ...

$$\dots \quad J = \dots = r^2 \sin(\vartheta) \quad \checkmark$$

Durchlaten!    bisher: anstrengend!  
 jetzt: einfach!    und schön...

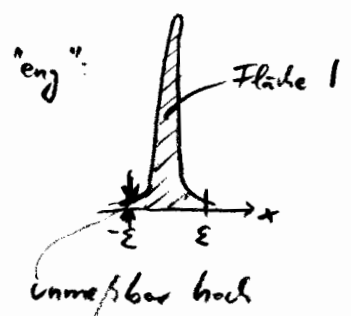
## 6.6. Delta-Funktion (der Physiker)



$M$  bleibt konstant.  $\int_0^L dx \frac{\sigma(x)}{M} = 1 \rightarrow \delta(x-a)$

1. Def.

$\delta(x) :=$  jede unmeßbar eng  
 bei  $x=0$  konzentrierte Fkt  
 mit  $\int dx \delta(x) = 1$



Bemerkung: "dünn, hoch, Fläche!" genügt.

nicht  $\varepsilon \rightarrow 0$  ausführen.

man gehe mit  $\delta(x)$  um wie mit jeder normalen Fkt,  
lediglich sieht man ihre Breite nicht mehr.

Mit normaler weicher Physiker-Fkt  $f(x)$  folgt die

2. Def. ("definierende Eigenschaft")

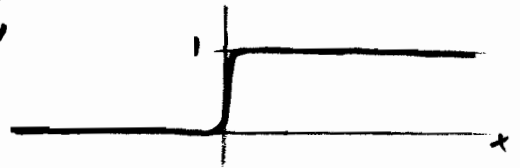
$$\int dx \delta(x-a) f(x) = f(a)$$

((denn:  $f$  und in  $(a-\varepsilon, a+\varepsilon)$  zu  $f(a)$ ))

Bem.: Meistens steht  $\delta$  unter einem Integral, oder wartet auf eins.

3. Def.  $\delta(x) := \partial_x \theta(x)$

wobei  $\theta(x)$  die Stufenfunktion ist,  
also eine in  $\varepsilon$ -Bereich von  
0 auf 1 ansteigende Fkt:



((denn:  $\int_{-\infty}^x dx' \delta(x') = \int_{-\infty}^x \text{graph} = \theta(x)$ )

$\partial_x$  auf beiden Seiten  $\Rightarrow \delta(x) = \partial_x \theta(x)$  ))

Definierende Eigenschaft von  $\theta(x)$ :

$$b > a, \int_{-\infty}^b dx f(x) \theta(x-a) = \int_a^b dx f(x)$$

Test via  $u' \quad v$   
Part. Int.  $u = F(x) \quad v' = \delta(x-a)$

$$F(b) - \int_{-\infty}^b dx F(x) \delta(x-a) = F(b) F(a) = \int_a^b dx \partial_x F(x)$$

" $\theta(0) = ?$ " — keine Frage!

S-Darstellungen


•  $\delta(x) = \frac{1}{\epsilon\sqrt{\pi}} e^{-x^2/\epsilon^2}$

denn:  $\lim_{\epsilon \rightarrow 0} \int_{-\infty}^{\infty} dx \delta(x) = 1$   $\int_{-\infty}^{\infty} dx \frac{1}{\epsilon\sqrt{\pi}} e^{-x^2/\epsilon^2} \stackrel{x \rightarrow \epsilon x}{=} \frac{1}{\sqrt{\pi}} \int_{-\infty}^{\infty} dx e^{-x^2} = 1$

(( "  $\delta(x) = \alpha e^{-x^2/\epsilon^2}$ ,  $\alpha = ?$  "  $\Rightarrow 1 \stackrel{!}{=} \int dx \alpha e^{-x^2/\epsilon^2} = \dots \Rightarrow \alpha$  ))

•  $\theta(x) = \frac{1}{1+e^{-x/\epsilon}}$  , 

$\delta(x) = \partial_x \frac{1}{1+e^{-x/\epsilon}}$

•  $\delta(x) = \frac{1}{\pi x} \sin\left(\frac{x}{\epsilon}\right)$   ,  $1 \stackrel{?}{=} \frac{1}{\pi} \int dx \frac{1}{x} \sin\left(\frac{x}{\epsilon}\right) = \frac{1}{\pi} \int dx \frac{\sin(x)}{x} \stackrel{!}{=} \pi$ , später... ((s.u.))

$\frac{1}{2\pi} \int_{-1/\epsilon}^{1/\epsilon} dk \left( \cos(kx) + i \sin(kx) \right)$   $\leftarrow$  wird ungerade, Euler

$= \frac{1}{2\pi} \int_{-1/\epsilon}^{1/\epsilon} dk e^{ikx}$

•  $\theta(x) = \frac{1}{2} + \frac{1}{\pi} \arctan\left(\frac{x}{\epsilon}\right)$

$\delta(x) = \partial_x \left( \frac{1}{2} + \frac{1}{\pi} \arctan\left(\frac{x}{\epsilon}\right) \right) = \frac{1}{\pi} \frac{\epsilon}{x^2 + \epsilon^2} = \frac{1}{2\pi} \left( \frac{1}{\epsilon - ix} + \frac{1}{\epsilon + ix} \right)$

$= \frac{1}{2\pi} \int_0^{\infty} dk \left( e^{ikx - \epsilon k} + c.c. \right)$   
 denn  $= \partial_k \frac{e^{ikx - \epsilon k}}{ix - \epsilon}$

$= \frac{1}{2\pi} \int_0^{\infty} dk e^{-\epsilon k} 2 \cos(kx)$  ,  $e^{-\epsilon k} \rightarrow e^{-\epsilon|k|}$

$= \frac{1}{2\pi} \int dk e^{-\epsilon|k|} \left( \cos(kx) + i \sin(kx) \right)$   $\leftarrow$  wird ungerade

$= \frac{1}{2\pi} \int dk e^{ikx} e^{-\epsilon|k|}$   $\leftarrow$  Fourier! (später)

(( in Lit.: konvergenzerzeugendes  $e^{-\epsilon|k|}$  oft weggelassen. ))  $\delta(x) = \frac{1}{2\pi} \int dk e^{ikx}$

((  $\mathcal{J}(k, \epsilon) \equiv \int dx \frac{\sin(kx)}{x} e^{-\epsilon|x|}$  ,  $\partial_k \mathcal{J} = \int dx \cos(kx) e^{-\epsilon|x|} = 2 \int_0^{\infty} dx \frac{1}{2} (e^{ikx} + e^{-ikx}) e^{-\epsilon x} = \frac{2\epsilon}{\epsilon^2 + k^2}$  ))

$\Rightarrow \mathcal{J}(k, \epsilon) = \text{const}_k + 2 \arctan\left(\frac{k}{\epsilon}\right)$  ;  $\mathcal{J}$  ungerade in  $k \Rightarrow \text{const} = 0$

$\Rightarrow \mathcal{J}(1, 0^+) = \pi \Rightarrow \int dx \frac{\sin(x)}{x} = \pi$  ))

- allg. Darst.  $\delta(x) = \frac{1}{\epsilon F} g\left(\frac{x}{\epsilon}\right)$

aus gegebenem  $g(x)$ , mit  $F = \int dx g(x)$

$\delta$ -Formeln

- Dimension:  $[\delta(x)] = \frac{1}{[x]}$

- $\delta(-x) = \delta(x)$  ((denn:  $\int dx \delta(-x) f(x) = \int dx \delta(x) f(-x) = f(0)$ ))

- $\delta(ax) = \frac{1}{|a|} \delta(x)$  ((denn:  $\delta(ax) \stackrel{\text{s.o.}}{=} \frac{1}{\pi} \frac{\epsilon}{(ax)^2 + \epsilon^2} = \frac{1}{|a|} \frac{1}{\pi} \frac{(\epsilon/|a|)}{x^2 + (\epsilon/|a|)^2} = \frac{1}{|a|} \delta(x)$ ))

- etc, siehe Sonderblatt

- 2D:  $\int d^2r \delta^{(2)}(\vec{r}-\vec{a}) \phi(\vec{r}) = \phi(\vec{a})$

- 3D:  $\int d^3r \delta^{(3)}(\vec{r}-\vec{a}) \phi(\vec{r}) = \phi(\vec{a})$

$\Rightarrow$  kann kartesisch ablesen und  $\delta(\vec{r}) = \begin{cases} 2D: \delta(x)\delta(y) \\ 3D: \delta(x)\delta(y)\delta(z) \end{cases}$   
 schreiben, m/s aber nicht ( $\rightarrow$  Ü 56 f-h)

Bem.:  $\delta(x-a)$  ist die Kontinuums-Version des Kronecker- $\delta$ :

$$\sum_{k=1}^3 \delta_{jk} f_k = f_j \Leftrightarrow \int dx \delta(a-x) f(x) = f(a)$$

Physik mit  $\delta$

Kann mit  $\delta$  Hüte, Drähte, Punkte in 3D formulieren.

Dichte enthaltende Formeln (z.B.  $V = -g_m \int d^3r' \frac{\rho(\vec{r}')}{|\vec{r}-\vec{r}'|}$ )

bleiben gültig, nur  $\rho(\vec{r})$  (= Masse od. Ladg. / Vd.) spezialisiert sind:

z.B. • hom. Scheibe (M, R) :  $\rho(\vec{r}) = A \delta(z) \Theta(R-\rho)$

$$M \stackrel{!}{=} \int d^3r \rho(\vec{r}) = A \int_0^R d\rho \int_0^{2\pi} d\phi \int_{-\infty}^{\infty} dz \delta(z) = A \frac{R^2}{2} 2\pi \Rightarrow A = \frac{M}{\pi R^2}$$

- hom. Stab (M, L) :  $\rho(\vec{r}) = B \delta(y) \delta(z) \Theta(x(L-x))$

$$M \stackrel{!}{=} B \int_0^L dx \int dy \int dz \delta(y) \delta(z) = BL \Rightarrow B = \frac{M}{L}$$

- Punktmasse (M) am Ursprung

$$\rho(\vec{r}) = C \delta(\vec{r}), \quad M \stackrel{!}{=} \int d^3r C \delta(\vec{r}) = C \Rightarrow \rho(\vec{r}) = M \delta(\vec{r})$$

- Punktladung (m, q) mit  $\vec{r}_0(t)$

(( jetzt  $\rho = \frac{\text{Ladung}}{\text{Vol.}}$ ,  $\vec{j} = \frac{\text{Ladung}}{\text{zeit-Fläche}}$  ))

$$\rho(\vec{r}, t) = q \delta(\vec{r} - \vec{r}_0(t))$$

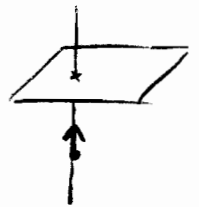
$$\vec{j}(\vec{r}, t) = \dot{\vec{r}}_0(t) q \delta(\vec{r} - \vec{r}_0(t))$$

((  $\Rightarrow$  Teilchenstrahlen; DESY; CERN! ))

Bsp Q und I zu  $\vec{r}_0(t) = vt \vec{e}_3 = (0, 0, vt)$

$$Q = \int d^3r \rho(\vec{r}) = q \int d^3r \delta(\vec{r} - \vec{r}_0(t)) = q$$

$$\begin{aligned} \vec{I}(t) &= \int_{xy\text{-Ebene}} d\vec{f} \cdot \vec{j} = \int dx dy \vec{e}_3 \cdot v \vec{e}_3 q \delta(\vec{r} - vt \vec{e}_3) \Big|_{z=0} \\ &= vq \int dx dy \delta(x) \delta(y) \delta(0 - vt) \\ &= vq \delta(vt) = q \delta(t) \end{aligned}$$



- Hohlkugel (M, R) im Ursprung



$$\rho(\vec{r}) = \alpha \delta(r - R), \quad M \stackrel{!}{=} \int d^3r \alpha \delta(r - R) = \alpha (4\pi \int_0^\infty dr r^2 \delta(r - R)) = \alpha 4\pi R^2$$

$$\Rightarrow \rho(\vec{r}) = \frac{M}{4\pi R^2} \delta(r - R)$$

Bsp Gravitationspotential einer Hohlkugel (M, R) (vgl. Ü 55a)

(( benutze  $V(\vec{r})$  für  $\rho(r)$ , Skript S. 71 ))

$$\begin{aligned} V(\vec{r}) &= -\gamma m \frac{2\pi}{r} \int_0^\infty dr' r' \frac{M}{4\pi R^2} \delta(r' - R) [\sqrt{(r+r')^2} - \sqrt{(r-r')^2}] \\ &= -\gamma m \frac{M}{2Rr} [ |r+R| - |r-R| ] = \begin{cases} 2R & \text{für } r > R \text{ (außen)} \\ 2r & \text{für } r < R \text{ (innen)} \end{cases} \\ &= \begin{cases} -\frac{\gamma m M}{r} & \text{außen} \\ -\frac{\gamma m M}{R} & \text{innen} \end{cases} \end{aligned}$$

((  $\Rightarrow$  innen keine Kraft! Hohlwelt  $\Rightarrow$  umsonst nach USA, nur abshipping; Realität? Ladung Q auf Metallkugel sammelt sich auf Oberflache! ))



Definierende Eigenschaft der **Delta-Funktion**:  $\int dx \delta(x - x_0) f(x) = f(x_0)$

**$\delta$ -Darstellungen:**  $\delta(x) = \frac{1}{2\varepsilon}$  für  $-\varepsilon < x < \varepsilon$  und 0 sonst

$$\delta(x) = \partial_x \frac{1}{1 + e^{-x/\varepsilon}} = -\partial_x \frac{1}{e^{x/\varepsilon} + 1}$$

$$\delta(x) = \frac{\varepsilon}{\pi x^2} \sin^2\left(\frac{x}{\varepsilon}\right), \quad \delta(x) = \frac{1}{\varepsilon\sqrt{\pi}} e^{-x^2/\varepsilon^2}$$

$$\delta(x) = \frac{1}{\pi x} \sin\left(\frac{x}{\varepsilon}\right) = \frac{1}{2\pi} \int_{-1/\varepsilon}^{1/\varepsilon} dk \cos(kx) = \frac{1}{2\pi} \int_{-1/\varepsilon}^{1/\varepsilon} dk e^{ikx}$$

$$\delta(x) = \frac{1}{\pi} \frac{\varepsilon}{x^2 + \varepsilon^2} = \frac{1}{2\pi} \int dk e^{ikx - \varepsilon|k|} = \frac{1}{2\pi} \int dk e^{ikx} (e^{-\varepsilon|k|})$$

allgemein:  $\delta(x) = \frac{1}{\varepsilon F} g\left(\frac{x}{\varepsilon}\right)$  mit  $F := \int dx g(x)$

**Stufenfunktion  $\theta$ :**  $\partial_x \theta(x) = \delta(x)$ ,  $\partial_x (\theta(x)\text{-Darst.}) = \delta(x)\text{-Darst.}$

$$\theta(x) = 1 - \theta(-x), \quad \text{sign}(x) = \frac{x}{|x|} = 2\theta(x) - 1$$

**$\delta$ -Formeln:**  $\delta(-x) = \delta(x)$ ,  $\delta(ax) = \frac{1}{|a|} \delta(x)$ ,  $\delta(x^2 - a^2) = \frac{1}{2|a|} (\delta(x - a) + \delta(x + a))$

allgemein:  $\delta(f(x)) = \sum_n \frac{1}{|f'(x_n)|} \delta(x - x_n)$ ,  $x_n$  sind die Nullstellen von  $f$

$$\frac{1}{i} \int_0^\infty dk e^{ikx - \varepsilon k} = \frac{1}{x + i\varepsilon} = \frac{x - i\varepsilon}{x^2 + \varepsilon^2} = \mathcal{P} \frac{1}{x} - i\pi \delta(x), \quad \mathcal{P} \text{ für } \textit{Principal value} \text{ (Hauptwert)}$$

$$\int dx f(x) \delta'(x) = -f'(0), \quad -x \delta'(x) = \delta(x), \quad \int dx \delta(x - a) \delta(x - b) = \delta(a - b)$$

**$\delta$ -Physik:**

Punktladung  $q$  bei  $\vec{r}_0(t)$ :  $\varrho(\vec{r}, t) = q \delta(\vec{r} - \vec{r}_0(t))$ ,  $\vec{j}(\vec{r}, t) = \dot{\vec{r}}_0(t) q \delta(\vec{r} - \vec{r}_0(t))$

Geladener Kreisring:  $\varrho(\vec{r}) = \frac{Q}{2\pi R} \delta(\varrho - R) \delta(z)$

Geladene Metallkugel:  $\varrho(\vec{r}) = \frac{Q}{4\pi R^2} \delta(r - R)$

Der Ortsoperator  $X$  (Wirkungsweise  $x \cdot$ ) hat gemäß  $x \delta(x - a) = a \delta(x - a)$  die kontinuierlich mit  $a$  nummerierten Eigenfunktionen  $\delta(x - a)$ .

Sei  $L$  ein (auf  $x$ -Abh. wirkender) linearer Operator, und  $Ly(x) = f(x)$ . Gesucht ist  $y(x)$ .

Wenn man dieses Problem für eine „Punktquelle“, d.h. das Hilfsproblem  $LG(x, a) = \delta(x - a)$  lösen kann und somit eine „Greensche Funktion“  $G(x, a)$  kennt, dann erhält man ein  $y(x)$  durch Anwenden des Operators  $\int da f(a)$  auf beiden Seiten des Hilfsproblems:

$$\int da f(a) LG(x, a) \stackrel{||}{=} \int da f(a) \delta(x - a) \\ L \int da f(a) G(x, a) \stackrel{||}{=} f(x) \quad \leadsto \quad y(x) = \int da f(a) G(x, a) .$$

(( Metallkugel wie Hohlkugel, denn:

Elektrostatis  $\Rightarrow$  unbewegliche Pkt-Ladung  $Q$   $\Rightarrow$  Tot auf Probekugel  $q$   
die Kraft  $\vec{U} = \frac{qQ}{4\pi\epsilon_0} \frac{1}{r^2} \frac{\vec{r}}{r}$  aus.

(Kennt  $\vec{U}$  aus Experiment; oder Maxwell-Gln.)

$$\vec{U} \stackrel{?}{=} -(\partial_x V, \partial_y V, \partial_z V) \Rightarrow V \equiv q\phi, \phi = \frac{1}{4\pi\epsilon_0} \frac{Q}{r}$$

"Coulomb-Potential" )

## 7. Gewöhnliche DGLN

Rückblick auf WS, auf etwas höherem Niveau

WS-Lösungsmethoden: Ansatz,  $u+a$ ,  $v = \frac{1}{\eta}$ ,  $e^{at} w$ , ...

jetzt: zuerst besser sprechen; dann 10 Fälle

### 7.1 Vokabeln, 3 Sätze

Bsp: Der getriebene, 1D harmonische Oszillator mit Reibung,

$$m\ddot{x} = -m\gamma\dot{x} - m\omega^2 x + m\epsilon(t)$$

folgt der Dgl.  $y'' + \gamma y' + \omega^2 y = f(x)$ .

Diese ist gewöhnlich ( $\neq$  partiell:  $(\partial_t - \partial_x)y = G(x,t)$ ),

2. Ordnung (max. 1-ter Ordnung),

linear ( $y, y', y''$  hoch eins),

inhomogen ( $f \neq 0$ ),

explizit ( $\neq F(y'', y', y, x) = 0$ ).

Die allg. Lsg. einer Dgl.  $n$ -ter Ordnung

ist eine  $n$ -parametrische Schar von Lsn.

Bsp:  $y'' + \omega^2 y = k_0$ , d.h.  $L_2 y = b_0$  mit  $L_2 = \partial_x^2 + \omega^2$

$$\text{hat } y_{\text{allg.}}(x) = \underbrace{\frac{k_0}{\omega^2}}_{\text{allg. Lsg. der hom. Dgl.}} + \underbrace{A \cos(\omega x) + B \sin(\omega x)}_{\text{spezielle Lsg. der inhomogenen.}}$$

(( Erinnerung: Fktn. lin. unabh.  $\Leftrightarrow$  aus  $L_k(\text{Fktn.}) = 0$  folgt Koeffs. = 0 ))

Zur allg. lin. Dgl.  $n$ -ter Ordnung, d.h.

$$L_n y(x) = f(x), \text{ mit } L_n = \partial_x^n + f_{n-1}(x) \partial_x^{n-1} + \dots + f_0(x)$$

gibt es 3 Sätze:

- $L_n y = 0$  hat genau  $n$  lin. unabh. Lsn:  $y_j(x)$ ,  $j=1, \dots, n$
- Die allg. Lsg von  $L_n y = 0$  ist  $y_{\text{hom}} = C_1 y_1(x) + \dots + C_n y_n(x)$
- Die allg. Lsg von  $L_n y = f$  ist  $y_{\text{allg.}} = y_{\text{hom}} + y_{\text{sp}}$ , wobei  $y_{\text{sp}}$  eine spez. Lsg von  $L_n y = f$  ist.

(( Beweis-Ideen:

- denke an Newton.  $\begin{pmatrix} y(0) \\ y'(0) \\ \vdots \\ y^{(n-1)}(0) \end{pmatrix} = \begin{pmatrix} 1 \\ 0 \\ \vdots \\ 0 \end{pmatrix}$  oder  $\begin{pmatrix} 0 \\ 1 \\ \vdots \\ 0 \end{pmatrix}$  oder ...  
kann bei  $x=0$  starten mit AB

$\Rightarrow$  es gibt also  $n$  Möglichkeiten (und nicht mehr; sonst  $L_k$ )

- hat  $n$  und löst  $L_n y = 0$

•••  $L_n y_{\text{allg.}} = f$

$L_n y_{\text{sp}} = f$

$L_n (y_{\text{allg.}} - y_{\text{sp}}) = 0$ , d.h.  $y_{\text{allg.}} - y_{\text{sp.}} = y_{\text{hom.}}$  ))

## 7.2 10 Fälle

"Repertoire", Wahrnehmungsraster; schon  $F' = f$  ganz fast nie!

① Potenzansatz  $x^2 y'' - 2xy' + 2y = 0$

hom, lin,  $x = 2$ -Potenz

$$y = x^\lambda, \quad \lambda(\lambda-1)x^2 x^{\lambda-2} - 2\lambda x x^{\lambda-1} + 2x^\lambda = 0$$

$$\lambda^2 - 3\lambda + 2 = 0, \quad \lambda = \frac{3}{2} \pm \sqrt{\frac{9}{4} - 2} = \left\{ \frac{1}{2}, 2 \right\}$$

$$\Rightarrow y_{\text{allg}} = C_1 x + C_2 x^2$$

② neue Variable (viele Möglichkeiten!)

setze  $x = x(\tau)$

benutze  $y(x) = y(x(\tau)) = u(\tau) = u(\tau(x))$

habe  $y' = u' \tau' \cdot \tau'^{-1} x$  usw. ( $y'', \dots$ )

erhalte Dgl. für  $u(\tau)$

Bsp  $x^2 y'' - 2xy' + 2y = 0$  (s.o.),  $0 < x$

setze  $x = e^\tau$ ;  $y(x) = y(e^\tau) = u(\tau) = u(\tau(x))$ ,

$$y' = u' \frac{1}{x} = u' e^{-\tau}, \quad y'' = u'' \frac{1}{x^2} - \frac{u'}{x^2} = u'' e^{-2\tau} - u' e^{-2\tau}$$

erhalte  $e^{2\tau} (u'' - u') e^{-2\tau} - 2e^\tau u' e^{-\tau} + 2u = 0$

$$u'' - 3u' + 2u = 0 \quad (*)$$

③ e-Ansatz: bei lin, hom, konst Koeff.

Bsp (\*) mit  $u = e^{\omega\tau}$  gibt  $\omega^2 - 3\omega + 2 = 0 \Rightarrow \omega = \left\{ \frac{1}{2}, 2 \right\}$

$$u_{\text{allg}} = C_1 e^\tau + C_2 e^{2\tau}$$

Bsp  $(d_t^2 + 2\gamma d_t + \omega_0^2) x(t) = 0$  (hom. Osz. mit Reibung)

$$x = e^{\omega t}, \quad \omega^2 + 2\gamma\omega + \omega_0^2 = 0, \quad \omega = -\gamma \pm \sqrt{\gamma^2 - \omega_0^2} \quad (\omega_0 < \gamma)$$

$$x_{\text{allg}}(t) = C_1 e^{-\gamma t - \Gamma t} + C_2 e^{-\gamma t + \Gamma t}$$

$\gamma < \omega_0$ :  $\omega = -\gamma \pm i \sqrt{\omega_0^2 - \gamma^2}$

$y = u_0$ : nur 1 Lsg? falsch!

studiere  $u_0 \rightarrow y: \Gamma = \varepsilon$ , dann  $\varepsilon \rightarrow 0$

$$\begin{aligned} x_{\text{allg}}^{y=u_0}(t) &= e^{-\gamma t} (C_1 e^{-\varepsilon t} + C_2 e^{\varepsilon t}), \quad e^\varepsilon \approx 1 + \varepsilon + \mathcal{O}(\varepsilon^2) \\ &= e^{-\gamma t} (\underbrace{C_1 + C_2}_{A} + \underbrace{(C_2 - C_1)\varepsilon t}_{B t} + \mathcal{O}(\varepsilon^2)) \\ &= e^{-\gamma t} (A + B t) \end{aligned}$$

④ neue Fkt. (viele Möglichkeiten geben!)

Bsp allg. lin. inhom. Dgl. 1. O.  $y' + P(x)y = Q(x)$

$$y_{\text{hom}}: \frac{y'}{y} = \ln(y)' = -P(x)$$

$$\ln(y) = -\int_{x_0}^x dx' P(x')$$

$$\text{Setze } y = y_{\text{hom}} \cdot u(x) = e^{-\int_{x_0}^x dx' P(x')} u(x)$$

$$\Rightarrow -\cancel{P} e^{-u} + e^{-u} u' + \cancel{P} e^{-u} u = Q$$

$$u' = Q e^{\int_{x_0}^x dx' P(x')}, \quad u = \int_{x_1}^x dx' Q(x') e^{\int_{x_0}^{x'} dx'' P(x'')} + C$$

$$y_{\text{allg}}(x) = e^{-\int_{x_0}^x dx' P(x')} \left( C + \int_{x_1}^x dx' Q(x') e^{\int_{x_0}^{x'} dx'' P(x'')} \right)$$

"P-Q-Formel".

3 Konstanten? Nein, nur 2: bei  $(x_0, x_1)$ -Änderung ändert sich C.

⑤ Variation der Konstanten

Bsp allg. lin. inhom. Dgl. 2. O.  $y'' + a(x)y' + b(x)y = f(x)$

wenn man eine Lsg  $y_1(x)$  der hom. Dgl. kennt,  
dann reduziert  $y = y_1 \cdot u$  die Ordnung um 1.

$$\Gamma \partial_x^n f \cdot g = (\partial_x^{\text{vorne}} + \partial_x^{\text{hinten}})^n f \cdot g \perp$$

$$\underbrace{y_1'' u + 2y_1' u' + y_1 u''}_{\text{mm}} + \underbrace{a y_1' u + a y_1 u'}_{\text{mm}} + \underbrace{b y_1 u}_{\text{mm}} = f$$

mm = 0 nach Voraussetzung

haben also  $y_1 u'' + (2y_1' + ay_1) u' = f$   
 setze  $u' =: v$ ,  $v' + (2 \frac{y_1'}{y_1} + a) v = \frac{f}{y_1}$   
 ist l.o.  $\Rightarrow$  nun P-Q-Formel!

⑥ Trennung der Variablen

(( erstens nicht-linear. Fall ))

$y'(x) = f(x) g(y)$  , alle  $y$  nach links

$\frac{1}{g(y)} y'(x) = f(x)$   
 $\frac{1}{g(y)} = \frac{\partial_y H(y)}{\partial_x F(x)}$  Stammfktn suchen

$\partial_x H(y(x)) = \partial_x F(x) \Rightarrow H(y) = F(x) + C$

(( zur Not:  $y' = \frac{dy}{dx}$ ,  $\frac{dy}{g} = dx \cdot f$ ,  $\int_{y_0}^y \frac{1}{g(y')} = \int_{x_0}^x dx' f(x')$  ))

⑦ Reduktion (en) der Ordnung

a)  $y'' = f(y, y')$  Besonderheit: kern  $x$

setze  $y' = p(y)$  :  $y'' = p'' y'^x = p'' p$   
 $\Rightarrow p'' = \frac{1}{p} f(y, p)$  ist Dgl l.o. für  $p(y)$

Bsp:  $m \ddot{x} = -\partial_x V(x)$ , kern  $t$ , setze  $\dot{x} = v(x)$ , Strich =  $\partial_x$ ,  
 $m v v' = (\frac{m}{2} v^2)' = -V'(x)$ ,  $\frac{m}{2} v^2(x) = E - V(x)$ .

b)  $y'' = f(y', x)$  Besonderheit: kern  $y$

setze  $y' = u$ ,  $u' = f(u, x)$  ist Dgl l.o.

c) Landaun-Trick: wenn  $L = L_1 L_2$ , d.h.  $L_1 L_2 y = f$ ,  
 setze  $u = L_2 y$ , löse  $L_1 u = f$  für  $u$ , danach  $L_2 y = u$ .

Bsp:  $\ddot{x} + \omega^2 x = k(t)$   
 $(\partial_t + i\omega)(\partial_t - i\omega)x = k(t)$ , löse  $(\partial_t + i\omega)u = k(t)$  usw.  
 $\underbrace{\quad}_{L_1} \underbrace{\quad}_{L_2} \underbrace{\quad}_u$

⑧ Dgl.  $\geq 2.0.$   $\xrightarrow{(\leftarrow)}$  Dgl-System 1.0.

(( geht immer ; Computer froh über System ))

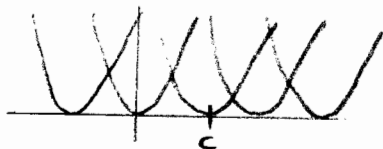
Bsp  $y'' = f(y', y, x)$

setze  $y' = z \Rightarrow \begin{cases} z' = f(z, y, x) \\ y' = z \end{cases}$

⑨ singuläre Lsn (nur bei nichtlinearen Dgl)

Bsp  $y'^2 = 4y$ ,  $y' = \pm 2\sqrt{y}$ , TdV:  $\frac{1}{2\sqrt{y}} y' = \pm 1 = \pm \frac{1}{\sqrt{y}}$

$\Rightarrow \sqrt{y}' = \pm 1$ ,  $\sqrt{y} = \pm x + C$ ,  $y = (\pm x + C)^2$ ,  $y_{\text{allg}} = (x - C)^2$



Die Einhüllende  $y=0$  löst die Dgl aus! "Singuläre Lsg"

$$\{ \text{alle Lsn} \} = \{ \text{in der allg. Lsg annehmbare} \} + \{ \text{eventuelle singuläre Lsn} \}$$

⑩ Greensche Funktion (!) (s. auch Sontriblatt)

Problem:  $Ly(x) = f(x)$ , gesucht:  $y(x)$  für  $x \in \{\text{Bereich}\}$ .

ersetze "Ursache"  $f(x)$  durch "Punkt-Ursache"  $\delta(x-a)$

Hilfsproblem:  $\boxed{L G(x,a) = \delta(x-a)}$

Wenn Lsg  $G(x,a)$  (die Greensche Fkt von  $L$ ) bekannt,

dann  $\int_{\mathcal{B}} da f(a) \overset{\text{ersetzt}}{L} G(x,a) = \int_{\mathcal{B}} da f(a) \delta(x-a)$

$$L \int_{\mathcal{B}} da f(a) G(x,a) = f(x)$$

$= y(x)$

$\Rightarrow$  em  $G$  gibt em  $y$ , d.h.  $y_{\text{sp}}$  in  $y = y_{\text{hom}} + y_{\text{sp}}$

(( haben Antwort  $y$  aus Punkt-Ursache - Antworten  $G$

zusammengesetzt. ))

Bsp  $\ddot{v} = -g$  (freier Fall),  $v(t) = ?$

$v_{\text{hom}} = C$ , Bereich:  $0 < t < T$ ,  $L_1 = \partial_t$

Hilfsproblem:  $\partial_t G(t, a) = \delta(t-a)$

auflesen:  $G(t, a) = \Theta(t-a) + A$

$$\Rightarrow v(t) = \int_0^T da (\Theta(t-a) + A)(-g)$$

$$= -g \int_0^t da \quad \underline{-gAT} = -gt + C$$

Bem.:  $G(t, a)$  hängt nur von  $t-a$  ab

allg.: wenn  $L$  "translationsinvariant",

d.h.  $[L f(x)]_{x \rightarrow x-a} = L f(x-a)$

(also z.B.  $L = \partial_x, \partial_x^2, \partial_x + C$ ; nicht  $x \partial_x$ ),

dann genügt es,  $L G(x) = f(x)$  zu lösen,

und dann  $G(x, a) = G(x-a)$  zu setzen.

Bsp  $\ddot{v} + \gamma v = k(t)$

(( hat via "P.-Q.-Formel" (4) ( $P = \gamma$ ,  $\int dt' P = \gamma t$ )

die allg. Lsg.  $v = e^{-\gamma t} (C + \int_0^t dt' k(t') e^{\gamma t'})$  ))

jetzt via Green.  $L = (\partial_t + \gamma)$  ist transl.-inv.

$\rightarrow$  muß  $(\partial_t + \gamma) G(t) = \delta(t)$  lösen.

z.B. Ans (" $\gamma$  muß weg")  $G(t) = u(t) e^{-\gamma t}$

$$\Rightarrow u' e^{-\gamma t} - \gamma u e^{-\gamma t} + \gamma u e^{-\gamma t} = \delta(t)$$

$$u' = \delta(t) e^{\gamma t} = \delta(t) \cdot 1, \quad u = \text{const}_t + \Theta(t)$$

$$\text{also } G(t) = (\text{const}_t + \Theta(t)) e^{-\gamma t}$$

$$\text{und } v(t) = \int_0^T da k(a) (\text{const} + \Theta(t-a)) e^{-\gamma(t-a)}$$

$$= e^{-\gamma t} \left( C + \int_0^t da k(a) e^{\gamma a} \right) \quad \checkmark$$

- Bem.
- $L$  mußte nur linearer Op. sein: es gibt viele  $L$ 's.
  - Punkt-Ursache in höherem Dim.:  $\delta(\vec{r})$  bzw.  $\delta(\vec{r}) \delta(t)$ .



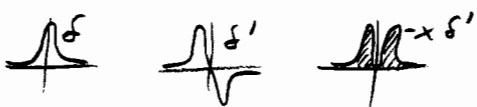
(Bem.  $L$  transl.-inv.  $\Leftrightarrow [Lf(x)]_{x \rightarrow x-a} = Lf(x-a)$ )

(Skript S. 44: Taylor) d.h.  $e^{-ax} Lf = L e^{-ax} f \quad \forall f$

d.h.  $0 = L e^{-ax} - e^{-ax} L$   
 $\equiv [L, e^{-ax}]$

Kommutator  
 $[a, b] \equiv ab - ba$

Bem.  $-x \delta'(x) \stackrel{?!}{=} \delta(x)$  (s. Sonderfall) ( $\rightarrow \bar{u} 636$ )

denn:   $\Rightarrow$  beide Seiten hoch, schnell

Vorfaktor able?  $\int dx \underbrace{(-x \delta'(x))}_u \underbrace{1}_{v'} = -x \delta(x) \Big|_{-\infty}^{\infty} + \int dx \delta(x) = 1 \quad \checkmark$

## 8. Felder

bisher: gew. Dgln, z.B. Newton: nur  $d_t$   
 (rechte Seite:  $\vec{K}(\vec{r}, t)$ )

„Feld“ := etwas  $(\vec{r}, t)$

kennen schon  $T(\vec{r}, t), p(\vec{r}, t), V(\vec{r}, t), s(\vec{r}, t), \vec{j}(\vec{r}, t), \vec{v}(\vec{r}, t),$   
 $\vec{K}(\vec{r}, t), \vec{E}(\vec{r}, t), \vec{B}(\vec{r}, t) \rightarrow$  deren Bzgn?

z.B.  $\vec{\nabla} \cdot \vec{E} = \rho \quad \vec{\nabla} \cdot \vec{B} = 0$   
 $\vec{\nabla} \times \vec{E} = -\dot{\vec{B}} \quad \vec{\nabla} \times \vec{B} = \vec{j} + \dot{\vec{E}}$

$\Rightarrow$  Maxwell-Gln. brauchen  $\nabla, \nabla \times$ , partielle Dgln

Das „etwas“ muß sich verhalten bei Koordin.-Drehung,

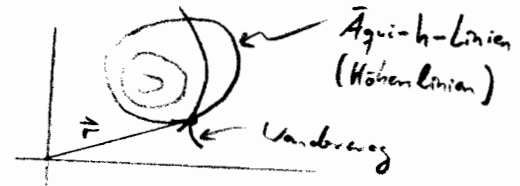
ist also

Skalarfeld	$\phi(\vec{r}, t)$
Vektorfeld	$\vec{A}(\vec{r}, t)$
(Tensorfeld	$\underline{\sigma}(\vec{r}, t)$ )

## 8.1. Gradient und Newton

wollen skalare Felder  $(\phi(\vec{r}), \vec{A}(\vec{r}))$  in Nähe der Stelle  $\vec{r}$  charakterisieren

z.B. Karte: Berg hat Höhe  $h(x, y)$   
über Meeresspiegel-Ebene



Steilheit? In welche Richtung? Richtung des größten Anstiegs?

in 3D: gegeben  $\phi(\vec{r})$ .

gehe ab  $\vec{r}$  in Richtung  $\vec{e}$ . Erlebe  $\phi(\vec{r} + s\vec{e})$

$$\begin{aligned}
 \left. \begin{array}{l} \text{Steilheit} \\ \text{in } \vec{e}\text{-Richtung} \\ \text{bei } \vec{r} \end{array} \right\} &= \text{Richtungsableitung} \\
 &= \left[ \partial_s \phi(x + se_1, y + se_2, z + se_3) \right]_{s=0} \\
 &= e_1 \partial_x \phi + e_2 \partial_y \phi + e_3 \partial_z \phi \\
 &= \vec{e} \cdot (\partial_x \phi, \partial_y \phi, \partial_z \phi) \\
 &= \vec{e} \cdot \vec{\nabla} \phi
 \end{aligned}$$

Kann verschiedene  $\vec{e}$  wählen.

Finde z.B.  $\vec{e} \cdot \vec{\nabla} \phi = 0$ , d.h. keine Änderung, d.h.  $\vec{e}$  liegt in Äqui-h-Fläche  $\Rightarrow \vec{\nabla} \phi$  steht  $\perp$  auf Äqui.

Finde z.B.  $\vec{e} \cdot \vec{\nabla} \phi = \max$ , d.h.  $\vec{\nabla} \phi \sim \vec{e}$

$$\Rightarrow \vec{\nabla} \phi = \left( \begin{array}{l} \text{Einheits-Vektor} \\ \text{in Richtung} \\ \text{max. Zunahme} \end{array} \right) \cdot \left( \begin{array}{l} \text{diese} \\ \text{Zunahme} \end{array} \right)$$

$$= (\partial_x, \partial_y, \partial_z) \phi = \text{grad } \phi$$

$$\text{mit } \boxed{\vec{\nabla} = (\partial_x, \partial_y, \partial_z)} = \text{„Newton-Operator“}$$

$\vec{\nabla}$  Skalarfeld heißt „Gradient“

(aber  $\vec{\nabla}$ ,  $\vec{\nabla}_x$  Vektorfeld heißt anders, s. später)

(kann  $\vec{\nabla}$  oder  $\nabla$  schreiben ...)

$\vec{\nabla}$  ist Vektor

Ermn.: Kap. 4,  $\vec{a}$  ist V.  $\Leftrightarrow \vec{a}' = D\vec{a}$

$\rightarrow$  Frage, ob  $\boxed{\vec{\nabla}' = D\vec{\nabla}}$  Sinn macht

Testen diesen Operator-Identität:  $(\partial_{x'_1}, \partial_{y'_1}, \partial_{z'_1}) \phi(\vec{r}' = D^T \vec{r}) \stackrel{?}{=} D\vec{\nabla}\phi$   
 hiervon die  $j$ -te Komp. ( $x=x_1, y=x_2, z=x_3$ ) ist

$$\begin{aligned} (\nabla'\phi)_j &= \partial_{x'_j} \phi \left( \begin{matrix} \text{1. te.} \\ \vdots \\ \text{D}^T \end{matrix} \right)_{lm} x'_m = D_{ml} x'_m = (\partial_{x_l} \phi) D_{ml} S_{mj} \\ &= D_{je} \partial_{x_e} \phi = (D\vec{\nabla}\phi)_j \end{aligned}$$

$$\Rightarrow \text{also ist } \vec{\nabla}'\phi = D\vec{\nabla}\phi \quad \forall \phi \quad \blacksquare$$

 $\vec{\nabla}$  in Kugelkoordin.

darf statt der  $\vec{e}_j$  in  $\vec{\nabla} = \vec{e}_1 \partial_x + \vec{e}_2 \partial_y + \vec{e}_3 \partial_z$


andere orthogonale Basis verwenden, z.B.

$$\vec{\nabla} = \vec{e}_r \partial_{\text{Weg nach oben}} + \vec{e}_\vartheta \partial_{\text{Weg nach Süden}} + \vec{e}_\varphi \partial_{\text{Weg nach Osten}}$$

$$\vec{e}_r = \frac{\vec{r}}{r} = (S_c, S_s, C) \quad \begin{matrix} S' = \sin(\vartheta) \\ S = \sin(\varphi) \end{matrix}$$

$$\vec{e}_\varphi = (-s, c, 0)$$

$$\vec{e}_\vartheta = (C_c, C_s, -S)$$

(s. Kap. 6; zu  $\vec{e}_\varphi$ :   $\vec{e}_\varphi = \frac{(-y, x, 0)}{\sqrt{x^2 + y^2}} = \frac{(-Ss, Sc, 0)}{s}$

zu  $\vec{e}_\vartheta$ :  $\vec{e}_\varphi + \vec{e}_r = \vec{e}_\vartheta$  ))

Weg nach Süden:  $r\vartheta$ ; Weg nach Osten:  $(rS)\cdot\varphi$

$$\Rightarrow \boxed{\vec{\nabla} = \vec{e}_r \partial_r + \vec{e}_\vartheta \frac{1}{r} \partial_\vartheta + \vec{e}_\varphi \frac{1}{rS} \partial_\varphi}$$

Dimensionen:  $[\vec{\nabla}] = \frac{1}{\text{Länge}} = [\text{rhs}] \quad \checkmark$

# Gradient in Physik

kennen (s. Newton, Kap. 3) Kraft auf gel. T. ( $q$ )

$$\vec{K} = q \vec{E} + q \vec{v} \times \vec{B}$$

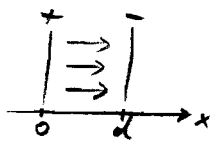
zu  $\vec{B} = 0$  :  $\vec{K} = q \vec{E} \stackrel{?!}{=} -\vec{\nabla} V$

$$\Rightarrow \vec{E} = -\vec{\nabla} \phi \quad \text{mit} \quad \phi = \frac{V}{q}$$

"el.-statisches Potential"

$\phi$ -Unterschied  $=$ : Spannung  $U$

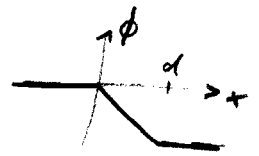
Bsp Plattenkondensator



$$\vec{E}_{\text{innen}} = (E, 0, 0) \stackrel{?!}{=} -\vec{\nabla} \phi$$

$$\Rightarrow \phi = -Ex (+C)$$

Spannung  $U = 0 - (-Ed) = Ed$



Bsp ruhende Punktladung ( $Q$ ) laut

Coulomb-Potential  $\phi = \frac{1}{4\pi\epsilon_0} \frac{Q}{r}$

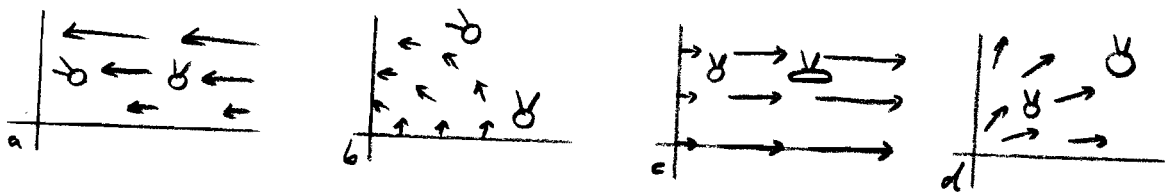
$$\Rightarrow \vec{E} = -\vec{\nabla} \phi = \frac{Q}{4\pi\epsilon_0} \frac{\vec{r}}{r^3}$$

## 8.2 Rotation

gegeben: Vektorfeld  $\vec{A}(\vec{r}, t)$

lokale Charakteristika?  $\vec{\nabla} \cdot \vec{A} \rightsquigarrow \S 8.3$   
 $\vec{\nabla} \times \vec{A} \rightsquigarrow$  hier

(( Realisierung: setze  $\vec{A}(\vec{r}, t) = \alpha \vec{v}(\vec{r}, t)$ , lasse Wasser mit  $\vec{v}$  strömen ))



" $\gamma$   $\hat{=}$  treibender Wasserfloß"

$\vec{A}$  ist charakterisiert durch Rotation (a, b), "Divergenz" Dehnung (c, d)  
 Floß fährt mit, hat bei  $\vec{r}$  also  $v(\vec{r})$ , sieht



$$d\vec{v} = \vec{v}(\vec{r}+d\vec{r}) - \vec{v}(\vec{r}) \quad (\stackrel{?}{=} \text{Matrix} \cdot d\vec{r})$$

$$= \left( v_1(x+dx, y+dy, z+dz) - v_1(\vec{r}), \dots, \dots \right)$$

$$= \left( v_1'x dx + v_1'y dy + v_1'z dz, \dots, \dots \right)$$

$$= \begin{pmatrix} v_1'x & v_1'y & v_1'z \\ v_2'x & v_2'y & \dots \\ \dots & \dots & \dots \end{pmatrix} \begin{pmatrix} dx \\ dy \\ dz \end{pmatrix} \equiv V d\vec{r}$$

aufspalten in sy/asy:  $V = V_S + V_A = \frac{1}{2}(V+V^T) + \frac{1}{2}(V-V^T)$

$$\Rightarrow d\vec{v} = d\vec{v}_S + d\vec{v}_A = V_S d\vec{r} + V_A d\vec{r}$$

↑ dreht Fließ nicht (dehnt ihn nur),

denn  $D d\vec{v}_S = \underline{D V_S D^T} D d\vec{r}$

$$d\vec{v}_S' = V_S' d\vec{r}', \quad V_S' = \begin{pmatrix} V_{S11}' & 0 & 0 \\ 0 & V_{S22}' & 0 \\ 0 & 0 & V_{S33}' \end{pmatrix}$$

(↑ kann symm. Matrix immer diagonalisieren, s. Kap. 4.3: HT)

$$d\vec{v}_A = \begin{pmatrix} 0 & \frac{v_1'y - v_2'x}{2} & \frac{v_1'z - v_3'x}{2} \\ \text{anti} & 0 & \frac{v_2'z - v_3'y}{2} \\ & & 0 \end{pmatrix} d\vec{r} \equiv \begin{pmatrix} 0 & -\omega_3 & \omega_2 \\ & 0 & -\omega_1 \\ & & 0 \end{pmatrix} d\vec{r} = \vec{\omega} \times d\vec{r}$$

also  $2\vec{\omega} = (v_3'y - v_2'z, v_1'z - v_3'x, v_2'x - v_1'y) = \vec{\nabla} \times \vec{v}$

Def  $\text{rot } \vec{A} = \alpha \text{rot } \vec{v} := \alpha 2\vec{\omega}$

$\text{rot } \vec{A} = \vec{\nabla} \times \vec{A} = \text{Wirbelfeld von } \vec{A}$

Bsp wirbelfreie zirkuläre Strömung

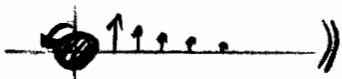
$\vec{\nabla} \times \vec{v} = \vec{0}$ .  $\vec{v}(\vec{r}) = ?$  partielle Dgl. lösen!

"zirkular":  $\vec{v} = \vec{e}_\varphi \cdot v(s) = (-y, x, 0) \frac{v(s)}{s} = f(s)$   
 $= (-yf, xf, 0)$

$\vec{\nabla} \times \vec{v} = (0, 0, (xf)'x + (yf)'y) \stackrel{!}{=} \vec{0}$

$2f(s) + sf'(s) = 0$

lösen: Trick ①,  $f = s^\lambda$ ,  $2+\lambda=0$ ,  $f_{\text{allg}} = \frac{c}{s^2}$

$\Rightarrow \vec{v} = \frac{c}{s} \vec{e}_\varphi$  (z.B. Bohrinsel: )

(ist wirbelfrei, ausgenommen z-Achse)

### 8.3. Divergenz

(Vorsicht: Doppelbedeutung)

gegeben  $\vec{A}(\vec{r}, t)$ .

realisiere als  $\vec{A} = \alpha \vec{v}$ ,  $\vec{v}$  von Gas  
dehnbarer Floh stimmt mit

Dof  $\operatorname{div} \vec{A} := \alpha \frac{\dot{\operatorname{Vol}}}{\operatorname{Vol}}$  (relative Volumenänderung)

Berechne Vol.-Änderung:  $d\vec{v} = d\vec{v}_S + d\vec{v}_A$  (s.o., S.88)  
 $\uparrow$  antisym; dreht nur, dehnt nicht

$$d\vec{v}'_S = V'_S d\vec{r}' = (V'_{S_{11}} dx', V'_{S_{22}} dy', V'_{S_{33}} dz')$$

lege Quader  $(dx', dy', dz')$  an Stelle  $\vec{r}'$

rechte Wand bewegt sich um  $V'_{S_{11}} dx'$  schneller als linke, usw.

$$\begin{aligned} \Rightarrow \operatorname{Vol} &= (dy' dz') V'_{S_{11}} dx' + (dx' dz') V'_{S_{22}} dy' + (dx' dy') V'_{S_{33}} dz' \\ &= \operatorname{Vol} \cdot (V'_{S_{11}} + V'_{S_{22}} + V'_{S_{33}}) = \operatorname{Vol} \cdot \operatorname{Sp}(V'_S) = \operatorname{Vol} \cdot \operatorname{Sp}(V_S) \\ &= \operatorname{Vol} \cdot (\partial_x v_1, \partial_y v_2, \partial_z v_3) \quad \uparrow \text{Spur inv. bei Dreh.} \\ &= \operatorname{Vol} \cdot \vec{\nabla} \cdot \vec{v} \end{aligned}$$

$$\Rightarrow \boxed{\operatorname{div} \vec{A} = \vec{\nabla} \cdot \vec{A} = \text{Quellenfeld von } \vec{A}}$$

Bsp quellfreie kugelsymm.-radiale Strömung

$$\vec{\nabla} \cdot \vec{f} = 0, \quad \vec{f}(\vec{r}) = ?$$

$$\text{"kugelsym."} : \vec{f} = \vec{e}_r \cdot f(r) = \vec{r} \frac{f(r)}{r} = f(r) \vec{e}_r$$

$\partial_x r = \frac{x}{r}$  usw.

$$\vec{\nabla} \cdot \vec{f} = (xf)' + (yf)'' + (zf)''' \stackrel{!}{=} 3f(r) + rf'(r) \stackrel{!}{=} 0$$

lösen: wieder Potenzansatz  $\textcircled{1}$ ,  $f = r^\lambda$ ,  $3 + \lambda = 0$ , falls  $= \frac{c}{r^3}$

$$\Rightarrow \vec{f} = \frac{c}{r^2} \vec{e}_r \quad (\text{z.B. Coulomb-Feld (s.o.) } \vec{E} \sim -\operatorname{grad} \frac{Q}{r} = \frac{1}{r^2} \vec{e}_r)$$

(ist quellfrei, ausgenommen Ursprung)

## Navier-Stokes Gln

Strömungsgeschw.  $\vec{u}(\vec{r}, t)$  , Druck  $p(\vec{r}, t)$

in inkompressiblen Flüssigkeiten / Gasen

$$\begin{aligned} \vec{u} + (\vec{u} \cdot \vec{\nabla}) \vec{u} &= \nu \Delta \vec{u} - \vec{\nabla} p \\ \vec{\nabla} \cdot \vec{u} &= 0 \end{aligned} \quad \left. \begin{array}{l} \uparrow \Delta \\ \uparrow \vec{\nabla}^2 \end{array} \right\} \begin{array}{l} 4 \text{ Gln} \\ 4 \text{ Variablen: } \vec{u}, p \end{array}$$

⇒ Existenzbeweis von (glatten, physikalischen) Lsn  
gibt |1 Million Dollar|!

→ www.claymath.org , "Millennium Problems"

System von nichtlinearen, partiellen Dgl'n 2. Ordnung

(( nicht einmal der Fall  $\nu=0$  , die „Euler Gleichungen“,  
sind gelöst ))

# Kontinuitätsgly (Conti)

(die wichtigste (?) partielle Dgl. [leider 4 Unbekannte])

Dichte  $\rho = \frac{\text{etwas}}{\text{Volumen}}$  ("etwas" = Ladung  $q$ , Energie  $E$ , Teilchenzahl  $N, \dots$ )

$$\dot{\rho} = \frac{d}{dt} \rho(\vec{r}, t) = \frac{d}{dt} \rho(\vec{r}, t) - (\partial_t \vec{r} \cdot \vec{\nabla}) \rho = \frac{d}{dt} \frac{N}{\text{Vol.}} - (\vec{v} \cdot \vec{\nabla}) \rho$$

in "mitströmendem Volumen" bleibt Teilchenzahl  $N$  const.,  
nur Vol. ändert sich:

$$\begin{aligned} & - \frac{N}{\text{Vol.}} \frac{d \text{Vol.}}{\text{Vol.}} - (\vec{v} \cdot \vec{\nabla}) \rho \stackrel{(\text{s.S. 89})}{=} - \rho \vec{\nabla} \cdot \vec{v} - (\vec{v} \cdot \vec{\nabla}) \rho \\ & = - \vec{\nabla} \cdot (\rho \vec{v}) = - \vec{\nabla} \cdot \vec{j} \end{aligned}$$

$$\Rightarrow \boxed{\dot{\rho} + \text{div } \vec{j} = 0} \quad (\text{Conti})$$

Zam: • gilt, wenn "etwas" (pro Volumen gelad.) erhalten ist.

• lokale Gg: gilt an jedem Pkt  $\vec{r}$  der Welt

und seit 13.7  $\pm$  0.2 Mrd. Jahren (WRAP)

• überlebt Relativitätstheorie, Quantenmechanik,  
Quantenfeldtheorie

• 1 Gg. für 4 Unbekannte  $\Rightarrow$  braucht noch andere Gln  
(z.B. Maxwell: Conti folgt)

$$\left( \begin{array}{l} \partial_{ct} \\ -\vec{\nabla} \end{array} \right) \cdot \left( \begin{array}{l} c\rho \\ \vec{j} \end{array} \right) = 0, \quad [\vec{\nabla}] = [\partial_{ct}] = \frac{1}{\text{Länge}}$$
$$\partial_{ct} c\rho - (-\vec{\nabla}) \cdot \vec{j} = 0$$

$$\underbrace{\left( \begin{array}{l} \partial_{ct} \\ -\vec{\nabla} \end{array} \right)}_{\equiv \delta} \cdot \left( \begin{array}{l} c\rho \\ \vec{j} \end{array} \right) = 0, \quad \partial_\mu j^\mu = 0$$

$\uparrow$  Vierer-Skalarprodukt ( $a \cdot b = a_0 b_0 - \vec{a} \cdot \vec{b}$ )

)



8.4  $\vec{\nabla}$  mal  $\vec{\nabla}$

bisher: Feld-Charakterisierung linear in  $\vec{\nabla}$

jetzt: quadratisch

Räumliche Krümmungen gibt es

in 1D eine:  $\partial_x^2 f(x)$  ( $= \Delta_1 f$ )

in 2D zwei:  $\nabla \cdot (\nabla \phi)$  ( $= \Delta_2 f$ )

$\nabla (\nabla \cdot \vec{A}) = \text{grad div } \vec{A}$

in 3D drei?! - denn zwei der folgenden fünf sind Null.

$\phi \rightarrow \vec{\nabla} \phi \begin{cases} \vec{\nabla} \times (\vec{\nabla} \phi) & (\text{Null}) \\ \vec{\nabla} \cdot (\vec{\nabla} \phi) & = \Delta \phi \end{cases}$

$\vec{A} \begin{cases} \vec{\nabla} \times \vec{A} \begin{cases} \vec{\nabla} \times (\vec{\nabla} \times \vec{A}) & = \vec{\nabla} (\vec{\nabla} \cdot \vec{A}) - \Delta \vec{A} \\ \vec{\nabla} \cdot (\vec{\nabla} \times \vec{A}) & (\text{Null}) \end{cases} \\ \vec{\nabla} \cdot \vec{A} \rightarrow \vec{\nabla} (\vec{\nabla} \cdot \vec{A}) \end{cases}$

•  $\vec{\nabla} \times (\vec{\nabla} \phi) = \text{rot grad } \phi = \vec{0}$ ,  
denn 1. Komp. =  $\partial_y \partial_z \phi - \partial_z \partial_y \phi$  etc

•  $\vec{\nabla} \cdot (\vec{\nabla} \phi) = \Delta \phi$ , mit  $\Delta = \partial_x^2 + \partial_y^2 + \partial_z^2 = \vec{\nabla}^2$   
Laplace-Operator

•  $\vec{\nabla} \times (\vec{\nabla} \times \vec{A}) = \text{rot rot } \vec{A}$   
"bac-cab"  $= \vec{\nabla} (\vec{\nabla} \cdot \vec{A}) - \Delta \vec{A}$  ( $\Delta \vec{A} = (\Delta A_1, \Delta A_2, \Delta A_3)$ )

•  $\vec{\nabla} \cdot (\vec{\nabla} \times \vec{A}) = \text{div rot } \vec{A} = 0$ ,  
denn  $\partial_x (\partial_y A_3 - \dots) + \partial_y (\dots - \partial_x A_3)$  etc

•  $\vec{\nabla} (\vec{\nabla} \cdot \vec{A}) = \text{grad div } \vec{A}$

Die Nullen:

Ein Feld  $(\vec{u}, \vec{E})$  ist als grad  $\phi$  darstellbar  $\xrightarrow{\text{rot (grad } \phi) = \vec{0}}$  es hat keine Wirbel  
 $\leftarrow ? \rightarrow$  (s.u., Theorem 1)

Ein Feld  $(\vec{B})$  ist als rot  $\vec{A}$  darstellbar  $\xrightarrow{\text{div (rot } \vec{A}) = 0}$  es hat keine Quellen  
 $\leftarrow ? \rightarrow$  (s.u., Theorem 2)

Laplace

Bsp  $\phi \parallel \begin{array}{|c|c|c|c|c|} \hline x & x^2 & x^2+y^2 & x^2-y^2 & \frac{1}{r} \\ \hline \Delta\phi & 0 & 2 & 4 & 0 \end{array}$  , denn

$$\Delta \frac{1}{r} = \partial_x \left(-\frac{x}{r^3}\right) + \partial_y \left(-\frac{y}{r^3}\right) + \partial_z \left(-\frac{z}{r^3}\right)$$

$$= -\frac{3}{r^3} + \left(x \cdot 3 \frac{x}{r^5} + \dots + \dots\right) = 0 \quad \text{für } \underline{r > 0} \quad (!)$$

→  $\forall r: \text{s.u.}$

$\Delta$  in Kugelkoordin.

$$\Delta = \vec{\nabla} \cdot \vec{\nabla} = \left(\vec{e}_r \partial_r + \vec{e}_\vartheta \frac{1}{r} \partial_\vartheta + \vec{e}_\varphi \frac{1}{r \sin \vartheta} \partial_\varphi\right) \cdot \left(\vec{e}_r \partial_r + \vec{e}_\vartheta \frac{1}{r} \partial_\vartheta + \vec{e}_\varphi \frac{1}{r \sin \vartheta} \partial_\varphi\right)$$

9 Terme. z.B.  $(\vec{e}_r, \vartheta, \varphi: \text{s.S. 86})$

$$= \vec{e}_\varphi \frac{1}{r \sin \vartheta} (\partial_\vartheta \vec{e}_r) \partial_r + \vec{e}_\varphi \frac{1}{r \sin \vartheta} \vec{e}_r \partial_\vartheta \partial_r$$

$$= \partial_\vartheta (\sin \vartheta, \sin \vartheta, \cos \vartheta) = (-\sin \vartheta, \sin \vartheta, 0) = \sin \vartheta \vec{e}_\varphi$$

$$= \frac{1}{r} \partial_r + 0$$

$$\left( \begin{array}{c|ccc} & \vec{e}_r & \vec{e}_\vartheta & \vec{e}_\varphi \\ \hline \partial_r & 0 & 0 & 0 \\ \partial_\vartheta & \vec{e}_\vartheta & \partial_\vartheta \vec{e}_\vartheta & 0 \\ \partial_\varphi & \sin \vec{e}_\varphi & -\vec{e}_r & (-\sin \vec{e}_r - \partial_\vartheta \vec{e}_\vartheta) \end{array} \right) \parallel$$

$$\Delta = \partial_r^2 + \frac{2}{r} \partial_r + \frac{1}{r^2} \partial_\vartheta^2 + \frac{1}{r^2 \sin^2 \vartheta} \partial_\varphi^2 \quad , \quad \begin{array}{l} S' = \sin(\vartheta) \\ C' = \cos(\vartheta) \end{array}$$

$$\Delta_r = \left(\partial_r + \frac{2}{r}\right) \partial_r = \frac{1}{r} (r \partial_r + 2) \partial_r = \frac{1}{r} (\partial_r r + 1) \partial_r = \frac{1}{r} \partial_r (r \partial_r + 1)$$

$$\Delta_r = \frac{1}{r} \partial_r^2 r$$

$\partial_r r = 1 + r \partial_r \rightarrow \partial_r r = \partial_r r$

Green von  $\Delta$  (behandle das "y" oben genauer)

s.o.:  $\Delta \frac{1}{r}$  war "krank" bei  $r=0$ . →  $\frac{1}{r}$ -Spitze einbetten / abrunden  
 z.B.  $\frac{1}{r} \rightarrow \frac{1}{\sqrt{r^2 + \epsilon^2}}$  (s. Schulz-Buch PB),  $\frac{1}{r} (1 - e^{-r/\epsilon})$  (s. Ü 70a), ... }

hier:  $\frac{1}{r} \rightarrow \frac{1}{r} \theta(r - \epsilon)$

betrachte  $\Delta \frac{1}{r} \Theta(r-\epsilon) = \frac{1}{r} \Delta r^2 \Theta(r-\epsilon) = \frac{1}{r} \delta'(r-\epsilon)$

rhs ist in  $\epsilon$ -Bereich lokalisiert, und hat

$$\int d^3r \frac{1}{r} \delta'(r-\epsilon) = 4\pi \int_0^\infty dr r \delta'(r-\epsilon)$$

$$= 4\pi [r \delta(r-\epsilon)]_0^\infty - 4\pi \int_0^\infty dr \delta(r-\epsilon)$$



$$= -4\pi, \text{ ist also } \delta\text{-Fkt}$$

$\Rightarrow \Delta \frac{1}{r} \Theta(r-\epsilon) = -4\pi \delta(r)$

$\xrightarrow{\epsilon \rightarrow 0^+}$   
 $\Rightarrow \boxed{\Delta \left(-\frac{1}{4\pi r}\right) = \delta(r)}$

8.5 3 Theoreme (der Vektoranalysis)

$\mathcal{G} :=$  einfach zusammenhängendes Gebiet

d.h. , aber nicht 

$\square$  Sei  $\vec{E}$  ein in  $\mathcal{G}$  wirbelfreies Feld,  
 d.h.  $\text{rot } \vec{E} = \vec{0}$   $\Rightarrow$   $\vec{E}$  hat in  $\mathcal{G}$  ein Potential,  
 d.h.  $\vec{E} = -\text{grad } \phi$

Beweis: • OBdA nahe Ursprung,  $\vec{E} = E(\vec{0}) + S\vec{r} + A\vec{r} + \mathcal{O}(r^2)$

$\cdot \text{rot } \vec{E} = \vec{0} \Rightarrow A = \vec{0}$  symm. Matrix antisym. Matrix

(denn  $A\vec{r} = \vec{\omega} \times \vec{r}$ , s.S. 88; keine Rotation  $\hat{=} \vec{\omega} = \vec{0}$ )

$\cdot \vec{E} = \vec{E}(\vec{0}) + S\vec{r} + \dots$  hat  $\phi = -\vec{E}(\vec{0}) \cdot \vec{r} - \frac{1}{2} \vec{r} S \vec{r} + \dots$

(denn  $(\vec{E})_i = -\partial_i \phi = -\partial_i [-E_j(\vec{0}) r_j - \frac{1}{2} r_k S_{kl} r_l + \dots] = E_i(\vec{0}) + S_{ij} r_j$ )

• im ganzen  $\mathcal{G}$ :  $\phi = -\int_{\vec{r}_0}^{\vec{r}} d\vec{r}' \cdot \vec{E}(\vec{r}')$

(denn  $-\partial_x \phi = \frac{1}{2} \left[ \int_{\vec{r}_0}^{\vec{r} + \epsilon \vec{e}_1} \dots - \int_{\vec{r}_0}^{\vec{r}} \dots \right] = \frac{1}{2} \int_{(x, y, z)}^{(x+\epsilon, y, z)} d\vec{r}' \cdot \vec{E}(\vec{r}') = \frac{1}{2} \vec{E} \cdot \vec{e}_1 = E_x$ )

•  $\phi$  unabhängig vom Weg @ ??

d.h.  geben gleiches  $\phi$  ??

 = 

$\stackrel{?!}{=} 0$ , wg. "Stokes"-Satz, Kap. 9

[2] Sei  $\vec{B}$  ein in  $\mathcal{G}$   $\vec{B}$  hat in  $\mathcal{G}$   
 quellenfreies Feld,  $\Rightarrow$  ein Vektorpotential,  
 d.h.  $\operatorname{div} \vec{B} = 0$  d.h.  $\vec{B} = \operatorname{rot} \vec{A}$

Beweis: • lokal:  $\vec{B} = \vec{B}(\vec{0}) + S\vec{r} + \underbrace{A\vec{r}}_{\vec{\omega} \times \vec{r}} + \mathcal{O}(\vec{r}^2)$

$$\bullet \operatorname{div} \vec{B} = \partial_i [B_i(\vec{0}) + S_{ij} r_j + A_{ij} r_j] = S_{ii} + A_{ii} = \operatorname{Sp}(S) \stackrel{!}{=} 0$$

$$\bullet \vec{B} \text{ hat } \vec{A} = \frac{1}{2} \vec{B}(\vec{0}) \times \vec{r} - \frac{1}{3} \vec{r} \times S\vec{r} - \frac{1}{3} \vec{r} \times (\vec{\omega} \times \vec{r})$$

$$\text{((denn } \vec{\nabla} \times (\frac{1}{2} \vec{B}(\vec{0}) \times \vec{r}) \stackrel{\text{bekannt}}{=} \frac{1}{2} \vec{B}(\vec{0}) (\vec{\nabla} \cdot \vec{r}) - \frac{1}{2} (\vec{B}(\vec{0}) \cdot \vec{\nabla}) \vec{r} = \frac{1}{2} [3-1] \vec{B}(\vec{0}))$$

$$\text{und } \vec{\nabla} \times (-\frac{1}{3} \vec{r} \times S\vec{r}) = \vec{\nabla} \times (\frac{1}{3} S\vec{r} \times \vec{r}) \stackrel{\text{Ü 66b}}{=} \frac{1}{3} (2S\vec{r} - \vec{r} (\vec{\nabla} \cdot S\vec{r}) + \operatorname{rot}_r S\vec{r})$$

$$= S\vec{r}, \text{ denn } \operatorname{rot}_r S\vec{r} = S r \partial_r r \vec{e}_r = S\vec{r} \quad \text{Ü 66b} \quad \text{rot}_r S\vec{r} = 0, \text{ s.o.}$$

$$\bullet \text{ global: } \vec{A}(\vec{r}) = -\frac{1}{2} \vec{r} \times \frac{1}{1 + \frac{1}{2} \vec{r} \cdot \vec{\nabla}} \vec{B}(\vec{r})$$

(( $\rightarrow$  s. S. 99))

als Reihe gedacht:  $\frac{1}{1+x} = \sum_{i=0}^{\infty} (-x)^i$

Bem.:  $\vec{A}$  nicht eindeutig festgelegt:

$$\left. \begin{array}{l} \vec{B} = \operatorname{rot} \vec{A}_I \\ \vec{B} = \operatorname{rot} \vec{A}_{II} \end{array} \right\} \vec{0} = \vec{\nabla} \times (\vec{A}_I - \vec{A}_{II})$$

kann ein Gradient sein! (s. S. 92:  $\vec{\nabla} \times (\vec{\nabla} \phi) = 0$ )

also  $\vec{A}_I = \vec{A}_{II} + \vec{\nabla} \chi(\vec{r})$  möglich.

$\vec{B}$  macht von dieser "Umkehrung" nichts.

[3] Unter den Lösungen  $\vec{A}(\vec{r})$  des Problems  $\left\{ \begin{array}{l} \operatorname{div} \vec{A} = Q(\vec{r}) \\ \operatorname{rot} \vec{A} = \vec{W}(\vec{r}) \end{array} \right\}$

mit ganz im Endlichen liegenden gegebenen Quellen  $Q, \vec{W}$

gibt es nur ein von  $Q, \vec{W}$  verursachtes Feld  $\vec{A}$ .

Es fällt mind.  $\sim \frac{1}{r^2}$  ab.

• "gibt es": setze  $\vec{A} = \vec{E} + \vec{B}$  mit  $\begin{array}{l} \vec{\nabla} \cdot \vec{E} = Q, \quad \vec{\nabla} \cdot \vec{B} = 0 \\ \vec{\nabla} \times \vec{E} = \vec{0}, \quad \vec{\nabla} \times \vec{B} = \vec{W} \end{array}$

$$\text{kenne } \vec{E} = -\vec{\nabla} \int d^3r' \frac{Q(\vec{r}')}{4\pi |\vec{r} - \vec{r}'|}, \quad \vec{B} = \vec{\nabla} \times \int d^3r' \frac{\vec{W}(\vec{r}')}{4\pi |\vec{r} - \vec{r}'|}$$

$$\text{Test: } \vec{\nabla} \times \vec{B} = \vec{\nabla} \times (\vec{\nabla} \times \vec{J}) \stackrel{\text{Laplace}}{=} \vec{\nabla} (\vec{\nabla} \cdot \vec{J}) - \Delta \vec{J} =: \textcircled{1} + \textcircled{2}$$

$$\textcircled{2} = - \int d^3r' \frac{\vec{J}(\vec{r}')}{4\pi} \Delta \frac{1}{|\vec{r}-\vec{r}'|} = -4\pi \delta(\vec{r}-\vec{r}') \\ = \vec{J}(\vec{r})$$

$$\textcircled{1} = \vec{\nabla} \cdot \vec{J} = \int d^3r' \frac{\vec{J}(\vec{r}')}{4\pi} \cdot \vec{\nabla} \frac{1}{|\vec{r}-\vec{r}'|} = - \vec{\nabla}' \frac{1}{|\vec{r}-\vec{r}'|}$$

$$\int dx' \vec{J}_i(\vec{r}') (-\partial_{x_i}) \frac{1}{|\vec{r}-\vec{r}'|} = \int dx' \frac{1}{|\vec{r}-\vec{r}'|} \partial_{x_i} J_i \quad (\text{part. Int.})$$

$$\frac{1}{4\pi} \int d^3r' \frac{1}{|\vec{r}-\vec{r}'|} \vec{\nabla}' \cdot \vec{J}(\vec{r}') = \vec{\nabla}' \cdot (\vec{\nabla}' \times \vec{B}(\vec{r}')) = 0 \quad (\text{s.S. 92: } \text{div rot } \vec{A} = 0)$$

$$\Rightarrow \vec{\nabla} \times \vec{B} = \vec{J} \quad (\text{und } \vec{\nabla} \cdot \vec{B} = 0 \quad \text{wg. } \text{div rot } \vec{A} = 0)$$

• "nur ein": gäbe es zwei  $\vec{A}$ , müsste die Differenz  $\vec{C} = \vec{A}_I - \vec{A}_{II}$  die Gln  $\begin{cases} \vec{\nabla} \cdot \vec{C} = 0 \\ \vec{\nabla} \times \vec{C} = \vec{0} \end{cases}$  erfüllen

(... $\textcircled{2}$ ): System 1. Ordnung  $\rightarrow$  weniger Gln. 2. Ordnung)

$$\text{per } \vec{\nabla} \times (\vec{\nabla} \times \vec{C}) = \vec{0} \stackrel{\text{Laplace}}{=} \vec{\nabla} (\vec{\nabla} \cdot \vec{C}) - \Delta \vec{C} \\ \stackrel{=0 \text{ nach Voraussetzung}}{=} \vec{0}$$

$$\Rightarrow \Delta C_1 = 0, \Delta C_2 = 0, \Delta C_3 = 0$$

es gilt aber:

Weil eine Lsg  $\phi$  von  $\Delta \phi = 0$  nirgends max. oder min. werden kann, liegen die betragsmäßig größten Werte am Rand.

(denn: hätte  $\phi$  Max  $\Rightarrow (\partial_x^2 + \partial_y^2 + \partial_z^2) \phi$  neg., nicht 0)

$\Rightarrow$  da am "Rand" des  $\mathbb{R}^3$   $\vec{A} \rightarrow \vec{0}$  (nach Vorr. in  $\mathbb{B} \sim \frac{1}{r^2}$ ),  
so auch jede Differenz  $\vec{C}$ , also  $\vec{C} = \vec{0}$  überall.

## 9. Integralätze

(( Kap. 8 war lokale Analyse, Steigungen und Krümmungen.  
Auch Conti (und Maxwell) gelten lokal, in Umgebung  
jedes Punktes der Welt. Klar: einige globale Gleichungen, die  
mehrfach nützlich sind ))

### 9.1 Gauß und Stokes

$$(0.) \int_a^b dx \partial_x F(x) = F(b) - F(a)$$

$$(1.) \int_1^2 d\vec{r} \cdot \text{grad } \phi = \phi(2) - \phi(1)$$

$$\left( \text{denn: lhs} = \int_{t_1}^{t_2} dt \underbrace{\dot{\vec{r}}(t) \cdot \vec{\nabla} \phi}_{= \partial_t \phi(\vec{r}(t))} = \phi(\vec{r}(t_2)) - \phi(\vec{r}(t_1)) \right)$$

$$(2.) \text{Gauß: } \boxed{\int_V d^3r \text{div } \vec{E} = \oint_S d\vec{f} \cdot \vec{E}}$$

ein raumfestes Volumen  
auf mehrfach z.s.h.



die Oberfläche von V (S wird  
geschlossen)  
auf mehrere Teile



Beweis: physikalisch, via Conti.  $\vec{j} + d\vec{v}\vec{j} = 0$  ("etwas" = Ladung  
= abstr.)  
"was rausging, ist nicht mehr drin"

$$\int_S d\vec{f} \cdot \vec{j} \stackrel{\text{Conti}}{=} - \partial_t \int_V d^3r \rho = \int_V d^3r (-\dot{\rho}) \stackrel{\text{Conti}}{=} \int_V d^3r \text{div } \vec{j}$$

$$(3.) \text{Stokes: } \boxed{\int_S d\vec{f} \cdot \text{rot } \vec{B} = \oint_C d\vec{r} \cdot \vec{B}}$$

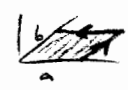
gewölbte Flächfläche

dessen Randkurve

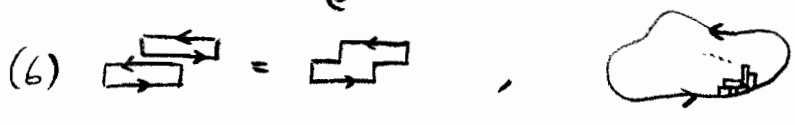


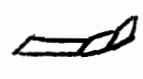
(auch mehrfach z.s.h.)

- Beweis:
- für Rechtecke
  - für beliebige ebene Fläche
  - für gewölbte Fläche

(a) oBdA: Rechteck in xy-Ebene  ,  $d\vec{f} = \vec{e}_z \cdot d^2r$


$$\begin{aligned} \int_S d\vec{f} \cdot \text{rot } \vec{B} &= \int_{\text{Rechteck}} d^2r \cdot \vec{e}_z \cdot (-, -, \partial_x B_2 - \partial_y B_1) |_{z=0} \\ &= \int_0^a dx \int_0^b dy (\partial_x B_2(x, y, 0) - \partial_y B_1(x, y, 0)) \\ &= \int_0^b dy B_2(a, y, 0) - \int_0^b dy B_2(0, y, 0) \\ &\quad - \int_0^a dx B_1(x, b, 0) + \int_0^a dx B_1(x, 0, 0) \\ &= \text{Rechteck} - \text{Rechteck} - \text{Rechteck} + \text{Rechteck} = \text{Rechteck} \\ &= \int_C d\vec{r} \cdot \vec{B} \end{aligned}$$



(c)  usw.

- Bem
- alle Int-Sätze sind Skalar = Skalar
  - $\int_n$ -fach  $\nabla \dots = \int_{(n-1)\text{-fach}} \dots$
  - (merken:)  $\int_V d^3r \cdot \text{grad } \phi = \phi_2 - \phi_1$
  - $\int_S d\vec{f} \cdot \text{rot } \vec{A} = \oint_C d\vec{r} \cdot \vec{A}$
  - $\int_V d^3r \cdot \text{div } \vec{A} = \oint_S d\vec{f} \cdot \vec{A}$

9.2. Anwendungsbeispiele

Bsp Kirchhoffs Regel   $\sum_I I_e = 0$

$\int_V d^3r$  über  $0 = \vec{j} + \text{div } \vec{i}$  z.Bt (Gauß) n.Vorr.: nur Dröhle in V


$$0 = \partial_t \int_V d^3r \rho + \int_V d^3r \text{div } \vec{i} \stackrel{\text{z.Bt (Gauß)}}{=} \partial_t Q_V + \oint_S d\vec{f} \cdot \vec{i} = 0 + \sum_I I_e$$

Bsp Magnetfeld um geraden Draht

(k. Maxwellglg.)  $\text{rot } \vec{B} = \vec{j} / \epsilon_0 c^2$  (Stokes)

$$\Rightarrow \int_S d\vec{f} \cdot \text{rot } \vec{B} \stackrel{\text{Stokes}}{=} \oint_C d\vec{r} \cdot \vec{B} = \int_S d\vec{f} \cdot \vec{j} / \epsilon_0 c^2$$

wähle  $S$  so, daß  $\vec{B} \perp$  oder  $\parallel \vec{e}$  ist, und daß Strom durch  $S$  fließt,

z.B. gerader Draht, Strom  $I$ , 

$S = \text{Kreis}(S)$ ; stets ist  $d\vec{r} \parallel \vec{B}$

$$\rightarrow B \cdot 2\pi s = I / \epsilon_0 c^2$$

$$\Rightarrow \vec{B} = \frac{I}{2\pi \epsilon_0 c^2} \frac{1}{s} \vec{e}_\varphi$$

Bsp räumliche partielle Integration

$$\int_V d^3r \vec{A} \cdot \vec{\nabla} \phi \stackrel{\text{Gruß}}{=} \int_V d^3r (\vec{\nabla}(\vec{A}\phi) - \phi \vec{\nabla} \cdot \vec{A}) = \oint_S d\vec{f} \cdot \vec{A} \phi - \int_V d^3r \phi \vec{\nabla} \cdot \vec{A}$$

wenn  $V = \mathbb{R}^3$ , d.h.  $S = \text{dessen Rand}$ , und  $\vec{A} \rightarrow 0$  am Rand, dann ist offenbar " $\vec{\nabla} \rightarrow -\vec{\nabla}$ " erlaubt

Nachtrag zu S.95, Beweis zu [2]:

$$\vec{A} = \vec{r} \times \vec{C}(\vec{r}) \quad \text{mit} \quad \vec{C}(\vec{r}) = -\frac{1}{2} \frac{1}{1 + \frac{1}{2} \vec{r} \cdot \vec{\nabla}} \vec{B}(\vec{r})$$

wurde behauptet. Zeige:  $\vec{B} = \text{rot } \vec{A}$ , falls  $\text{div } \vec{B} = 0$ .

$$\vec{B} \stackrel{?!}{=} \text{rot } \vec{A} = \vec{\nabla} \times (\vec{r} \times \vec{C}) \stackrel{\text{Bac-cab}}{=} \vec{r} (\vec{\nabla} \cdot \vec{C}) - \vec{C} (\vec{\nabla} \cdot \vec{r}) + (\vec{C} \cdot \vec{\nabla}) \vec{r} - (\vec{r} \cdot \vec{\nabla}) \vec{C}$$

$$\begin{aligned} \text{a) } (\vec{\nabla} \cdot \vec{C}) &= -\frac{1}{2} \vec{\nabla} \cdot \sum_{n=0}^{\infty} (-\frac{1}{2} \vec{r} \cdot \vec{\nabla})^n \vec{B} \\ &= -\frac{1}{2} \sum_{n=0}^{\infty} \left\{ (-\frac{1}{2} \vec{r} \cdot \vec{\nabla})^n \vec{\nabla} \cdot \vec{B} + n (-\frac{1}{2} \vec{r} \cdot \vec{\nabla})^{n-1} \left( -\frac{1}{2} \vec{\nabla} (\vec{r} \cdot \vec{\nabla}) \right) \vec{B} \right\} \\ &\stackrel{\text{div } \vec{B} = 0}{=} \sum_j \partial_j r_i \partial_i = \partial_j = \vec{\nabla} \end{aligned}$$

b)  $(\vec{\nabla} \cdot \vec{r}) = \partial_i r_i = 3$

c)  $(\vec{C} \cdot \vec{\nabla}) \vec{r} = C_i \partial_i r_j = C_j = \vec{C}$

$$\vec{B} = 0 - 3\vec{C} - \vec{C} - (\vec{r} \cdot \vec{\nabla}) \vec{C} = -2(1 + \frac{1}{2} \vec{r} \cdot \vec{\nabla}) \vec{C} = \vec{B}$$



## 10. Fourier ( $\hat{=}$ §12 in PB)

die wichtigste Rechenmethode? (in allen Gebieten der Physik)

ähnlich §5.3: Potenzreihen

hier: "harmonische Analyse"

### 10.1 Fourier-Reihe

Ein Ton (Trommelfell-Auslenkung  $\overset{f(t)}{\uparrow}$ ) sollte aus Grund- und Obertönen bestehen:

$$f(t) = \sum_{n=1}^{\infty} \text{Stärke}_n \cdot \text{Oberton}_n(t) \quad (\text{Oberton}_1 \equiv \text{Grundton})$$

Anteil  $n$  ist experimentell herausfilterbar.

Also sollte (könnte) jede  $L$ -periodische Fkt  $f(x)$  ( $f(x+L) \equiv f(x)$ ) wie folgt darstellbar sein:

$$\begin{aligned}
 f(x) &\stackrel{?}{=} f_0 + \sum_{n=1}^{\infty} \left[ a_n \cos\left(n \frac{2\pi}{L} x\right) + b_n \sin\left(n \frac{2\pi}{L} x\right) \right] \\
 &\stackrel{\text{Euler } e^{ix} = \cos x + i \sin x}{=} \underbrace{f_0}_{\equiv c_0} + \sum_{n=1}^{\infty} \left[ \underbrace{\left(\frac{a_n}{2} + \frac{b_n}{2i}\right)}_{\equiv c_n} e^{in \frac{2\pi}{L} x} + \underbrace{\left(\frac{a_n}{2} - \frac{b_n}{2i}\right)}_{\equiv c_{-n}} e^{-in \frac{2\pi}{L} x} \right] \\
 &= \sum_{n=-\infty}^{\infty} c_n e^{in \frac{2\pi}{L} x}
 \end{aligned}$$

Falls OK, welche  $c_n$ ? Wende Op.  $\frac{1}{L} \int_0^L dx e^{-im \frac{2\pi}{L} x}$  an:

$$\begin{aligned}
 \frac{1}{L} \int_0^L dx e^{-im \frac{2\pi}{L} x} f(x) &= \sum_{n=-\infty}^{\infty} c_n \underbrace{\frac{1}{L} \int_0^L dx e^{i(n-m) \frac{2\pi}{L} x}}_{=} = \sum_{n=-\infty}^{\infty} c_n \delta_{nm} = c_m \\
 &= \begin{cases} n=m: 1 \\ n \neq m: \frac{1}{L} \frac{e^{i(n-m)2\pi} - 1}{i(n-m) \frac{2\pi}{L}} = \frac{1}{L} \frac{\overbrace{\cos[(n-m)2\pi]}^= + i \overbrace{\sin[(n-m)2\pi]}^0}{\dots} - 1}{\dots} = 0 \end{cases}
 \end{aligned}$$

$$\text{Haben auch } f_0 = c_0 = \frac{1}{L} \int_0^L dx f(x) = \bar{f}$$

$$a_n = c_n + c_{-n} = \frac{2}{L} \int_0^L dx \cos\left(n \frac{2\pi}{L} x\right) f(x)$$

$$b_n = i(c_n - c_{-n}) = \dots - \sin \dots$$

(( Nachweis, daß  $\textcircled{?}$  unnötig ist :

gegeben  $f$ , berechne  $c_n = \frac{1}{L} \int_0^L dx e^{-in \frac{2\pi}{L} x} f(x)$ ,

bilde damit  $\sum_{n=-\infty}^{\infty} c_n e^{in \frac{2\pi}{L} x} =: f_{\mathbb{F}}(x)$ ,

prüfe ob  $f_{\mathbb{F}} = f$ .

$$f_{\mathbb{F}}(x) = \int_0^L dx' \underbrace{\frac{1}{L} \sum_n e^{in \frac{2\pi}{L} (x-x')}}_{=: K(x-x')} f(x')$$

$$K(x) = \frac{1}{L} \sum_n (e^{i \frac{2\pi}{L} x})^n = \frac{1}{L} \left( \sum_{n=0}^{\infty} + \sum_{n=-\infty}^0 -1 \right)$$

$$= \frac{1}{L} \left( \frac{1}{1-1} + \frac{1}{1-1} -1 \right) = \frac{1}{L} \frac{1-(-1)-1+1}{1-1} = 0,$$

außer bei  $x=0, \pm L, \text{ usw.}!$

$$K(x) \xrightarrow{x \rightarrow 0} \frac{1}{L} \int dn e^{i \frac{2\pi}{L} x n} = \frac{1}{L} 2\pi \delta\left(\frac{2\pi}{L} x\right) = \delta(x)$$

$$\text{also } K(x) = \sum_{m=-\infty}^{\infty} \delta(x+mL)$$

$$= \int_0^L dx' \sum_m \delta(x-x'+mL) f(x') = f(x) \quad \bullet \quad ))$$

Zusammenfassung:

$$f_{L\text{-per.}}(x) = \sum_{n=-\infty}^{\infty} c_n e^{in \frac{2\pi}{L} x}$$

$$\text{mit } c_n = \frac{1}{L} \int_0^L dx f(x) e^{-in \frac{2\pi}{L} x}$$

$$\text{Nebenprodukt (s.o.): } \frac{1}{L} \sum_{n=-\infty}^{\infty} e^{in \frac{2\pi}{L} x} = \sum_{m=-\infty}^{\infty} \delta(x+mL)$$

Bem: bei  $c_n$ -Berechnung ist  $(0, L)$ -Verschiebung erlaubt (weil Integrand  $f \cdot e^{-in \frac{2\pi}{L} x}$   $L$ -per. ist):

$$\int_0^L = \int_0^{L-a} + \int_{L-a}^L = \int_0^{L-a} + \int_{-a}^0 = \int_{-a}^{L-a}$$

Eigenschaften:

$$f \text{ reell} \Leftrightarrow c_n^* = c_{-n}$$

$$f \text{ gerade} \Leftrightarrow c_n = \frac{1}{L} \int_{-L/2}^{L/2} dx f(x) \cos\left(n \frac{2\pi}{L} x\right) = c_{-n}$$

d.h.  $b_n = 0$ , reine cos-Reihe

$$f \text{ ungerade} \Leftrightarrow c_n = -c_{-n}, \text{ d.h. } a_n = 0, \text{ reine sin-Reihe}$$

und  $f_0 = 0$

$$f'(x) = \sum_{n=-\infty}^{\infty} \underbrace{c_n \sin \frac{2\pi}{L} x}_{\text{hat diese Koeff.}} e^{i n \frac{2\pi}{L} x}$$

$$f(x-a) = \sum_{n=-\infty}^{\infty} \underbrace{c_n e^{-i n \frac{2\pi}{L} a}}_{\text{hat diese Koeff.}} e^{i n \frac{2\pi}{L} x}$$

nutz:  $f(x) = \delta_{\text{per.}}(x) = \sum_{m=-\infty}^{\infty} \delta(x+mL)$

$$\text{gilt } c_n = \frac{1}{L} \int_{-\frac{L}{2}}^{\frac{L}{2}} dx \delta(x) e^{-i n \frac{2\pi}{L} x} = \frac{1}{L}$$

$$\text{und } f(x) = \sum_{n=-\infty}^{\infty} \frac{1}{L} e^{i n \frac{2\pi}{L} x}$$

Zam: Fourier-Reihe kann auch endlich viele  $\delta$ 's,  
sowie Sprünge usw. darstellen.

(s. Ü 74)

### Anwendungen

1) Diffusion (vgl. Ü 73) mit period. Start-Temp.

$$\begin{aligned} \dot{T} &= D \Delta T, \quad T(x,t) = e^{t D \Delta_x^2} T(x,0) \\ &= e^{t D \Delta_x^2} \sum_n c_n e^{i n \frac{2\pi}{L} x} \\ &= \sum_n c_n e^{-t D n^2 \left(\frac{2\pi}{L}\right)^2} e^{i n \frac{2\pi}{L} x} \end{aligned}$$

2) gedämpfter, periodisch angeregter Oszill.

$$(\partial_t^2 + \gamma \partial_t + \omega_0^2) x(t) = \epsilon(t) = \epsilon(t+T)$$

nach Einschwingen auch  $x(t) = x(t+T)$

$$\sum_n c_n \left( \right) e^{i n \frac{2\pi}{T} t} = \sum_n b_n e^{i n \frac{2\pi}{T} t}$$

$$\hookrightarrow -\left(n \frac{2\pi}{T}\right)^2 + \gamma i n \frac{2\pi}{T} + \omega_0^2 =: [J]_n$$

$$\text{Koeff-Vergl.: } c_n [J]_n = b_n \Rightarrow c_n = \frac{b_n}{[J]_n}$$

3) Fourier-Reihe liefert Fourier-Transformation  
(s. § 10.2)



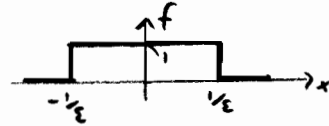
(( Nachweis direkt:  $f_{\tilde{f}}(x)$  bilden,  $f_{\tilde{f}} = f$  zeigen, )

$$f_{\tilde{f}}(x) = \frac{1}{2\pi} \int dk e^{ikx} \left[ \int dx' e^{-ikx'} f(x') \right]$$

$$= \int dx' \underbrace{\frac{1}{2\pi} \int dk e^{ik(x-x')}}_{=\delta(x-x')} f(x') = f(x), \text{ qed. } \quad \left( \text{s. Kap. 6, Skript S. 74} \right)$$

Bsp

"Kasten"  $f(x) = \Theta\left(\frac{1}{\varepsilon^2} - x^2\right)$



$$\tilde{f}(k) = \int_{-1/\varepsilon}^{1/\varepsilon} dx e^{-ikx} = \left[ \frac{e^{-ikx}}{-ik} \right]_{-1/\varepsilon}^{1/\varepsilon}$$

$$\text{oder } \tilde{f} = \int_{-1/\varepsilon}^{1/\varepsilon} dx (\cos(kx) = \frac{1}{k} d_k \sin(kx)) = \frac{2}{k} \sin\left(\frac{k}{\varepsilon}\right)$$

$$\Rightarrow f = \Theta\left(\frac{1}{\varepsilon^2} - x^2\right) \text{ hat } \tilde{f} = 2\pi \frac{1}{\varepsilon k} \sin\left(\frac{k}{\varepsilon}\right)$$

Bei  $\varepsilon \rightarrow 0$  erhalt man (( Erinnerung Kap. 6, S. 79,  $\frac{1}{\pi x} \sin\left(\frac{x}{\varepsilon}\right) = \delta(x)$  ))

$f(x) = 1$ hat $\tilde{f}(k) = 2\pi \delta(k)$
und $f(x) = \delta(x)$ hat $\tilde{f}(k) = 1$

Bem.:

- im physikalisch wohlverstandenen Sinne sind Konstante und  $\delta$ 's  $\mathcal{F}$ -transformierbar
- $f$  eng (groes  $\varepsilon$ ),  $\tilde{f}$  breit  
 $f$  breit,  $\tilde{f}$  eng
- bei kleinem (groem)  $x$  und  $f$  durch groe (kleine)  $k$  in  $f(x) = \frac{1}{2\pi} \int dk e^{ikx} \tilde{f}(k)$  gut dargestellt. [groe Regel]

Bsp

Gau  $f(x) = A e^{-\alpha x^2}$

$$\tilde{f}(k) = A \int dx e^{-ikx} e^{-\alpha x^2}$$

$$\rightarrow \cos(kx) = \sum_{n=0}^{\infty} \frac{(-1)^n}{(2n)!} (kx)^{2n}$$

$$= A \sum_{n=0}^{\infty} \frac{(-1)^n}{(2n)!} k^{2n} (-\partial_x)^n \underbrace{\int dx e^{-\alpha x^2}}_{=\alpha^{-1/2} \sqrt{\pi}} \quad \left( \text{Kap. 6, S. 67} \right)$$

$$= \underbrace{1 \cdot 3 \cdot 5 \cdot \dots \cdot (2n-1)}_{= \frac{(2n)!}{2^n}} \frac{1}{2^n} \alpha^{-1/2-n}$$

$$= \frac{1 \cdot 2 \cdot 3 \cdot 4 \cdot \dots \cdot (2n-1) \cdot 2n}{2 \cdot 4 \cdot \dots \cdot 2n} = \frac{(2n)!}{2^n n!}$$

Klausur-Tipp:  
Integrale sammeln!

$$\tilde{f}(k) \stackrel{!}{=} A \frac{1}{\sqrt{\alpha}} \sum_{n=0}^{\infty} \frac{1}{n!} \left(-\frac{k^2}{4\alpha}\right)^n = \underline{\underline{A \sqrt{\frac{\pi}{\alpha}} e^{-\frac{k^2}{4\alpha}}}}$$

Bem.: • erweist:  $f \text{ erg} \Leftrightarrow \tilde{f} \text{ Breit}$

$$\bullet \text{ FT}\{\text{Gauß}\} = \text{Gauß}$$

eine Forminvarianz unter F.T.!

$$\text{es gibt mehr (}\infty\text{ viele): } \text{FT}\left\{\frac{1}{\cosh(x)}\right\} = \frac{\pi}{\cosh\left(\frac{\pi}{2}b\right)}$$

$$\text{FT}\left\{\sqrt{\frac{a}{|x|}}\right\} = \sqrt{\frac{2a\pi}{|k|}}$$

### allg. Eigenschaften

$$\bullet f \text{ reell} \Leftrightarrow \tilde{f}^*(k) = \tilde{f}(-k)$$

$$\bullet f(-x) = \pm f(x) \Leftrightarrow \tilde{f}(-k) = \pm \tilde{f}(k) = \begin{cases} \text{cos-Entwicklung} \\ \text{sin-Entwicklung} \end{cases}$$

$$\begin{aligned} \bullet \int dx |f|^2 &= \int dx \frac{1}{2\pi} \int db e^{ibx} \tilde{f}(b) \frac{1}{2\pi} \int dg e^{-igx} \tilde{f}^*(g) \\ &\quad \delta(b-g) \\ &= \frac{1}{2\pi} \int db |\tilde{f}(b)|^2 \quad \text{"Parseval's Theorem"} \end{aligned}$$

$$\bullet \text{Tabellen: } f(x) \stackrel{!}{=} \frac{1}{2} (f(x) + f(-x)) + \frac{1}{2} (f(x) - f(-x)) \\ =: g(x) + u(x)$$

$$\begin{aligned} \tilde{f}(k) &\stackrel{!}{=} \int dx e^{-ikx} (g(x) + u(x)) \\ &= \int dx \cos(kx) g(x) - i \int dx \sin(kx) u(x) \end{aligned}$$

### Räumliche FT

$$\begin{aligned} f(x, y, z) &= \frac{1}{2\pi} \int db_1 e^{ib_1 x} \tilde{\tilde{f}}(b_1, y, z) \\ &\quad \stackrel{!}{=} \frac{1}{2\pi} \int db_2 e^{ib_2 y} \tilde{f}(b_1, b_2, z) \\ &\quad \stackrel{!}{=} \frac{1}{2\pi} \int db_3 e^{ib_3 z} \tilde{f}(b_1, b_2, b_3) \end{aligned}$$

$$\Rightarrow \boxed{f(\vec{r}) = \left(\frac{1}{2\pi}\right)^3 \int d^3b e^{i\vec{b}\vec{r}} \tilde{f}(\vec{b})}$$

$$\text{mit } \tilde{f}(\vec{b}) = \int d^3r e^{-i\vec{b}\vec{r}} f(\vec{r})$$

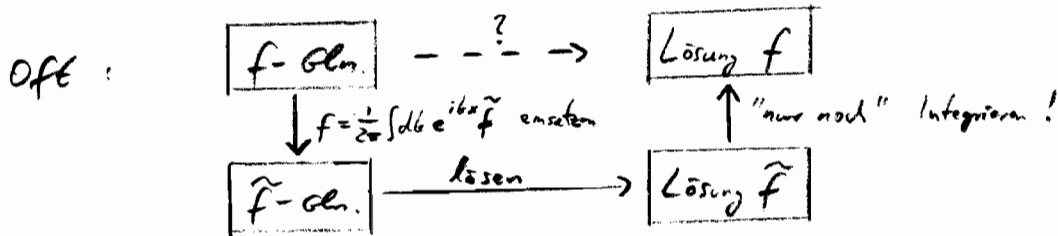
(( Raumzeitliche FT : reine Konvention

$$\vec{E}(\vec{r}, t) = \left(\frac{1}{2\pi}\right)^3 \int d^3k \, d\omega \, e^{i\vec{k}\vec{r} - i\omega t} \vec{E}(\vec{k}, \omega)$$

mit  $\vec{E}(\vec{k}, \omega) = \int d^3r \, dt \, e^{-i\vec{k}\vec{r} + i\omega t} \vec{E}(\vec{r}, t)$  ))

Klausur - Eichstrich

10.3 Anwendungen



Bsp Elektrostatische

will  $\vec{\nabla} \cdot \vec{E} = \frac{1}{\epsilon_0} \rho$ ,  $\vec{\nabla} \times \vec{E} = \vec{0}$  lösen

Abstieg:  $\left(\frac{1}{2\pi}\right)^3 \int d^3k \left\{ \begin{matrix} \vec{\nabla} \cdot \\ \vec{\nabla} \times \end{matrix} \right\} e^{i\vec{k}\vec{r}} \vec{E}(\vec{k}) = \begin{cases} \left(\frac{1}{2\pi}\right)^3 \int d^3k \, e^{i\vec{k}\vec{r}} \frac{1}{\epsilon_0} \tilde{\rho}(\vec{k}) \\ 0 \end{cases}$

$$= \frac{\vec{\nabla} e^{i\vec{k}\vec{r}} \cdot \{ \cdot \}}{i\vec{k} e^{i\vec{k}\vec{r}}} \quad \boxed{\vec{\nabla} \rightarrow i\vec{k}}$$

Koef-Vergl.:

$$i\vec{k} \cdot \vec{E} = \frac{1}{\epsilon_0} \tilde{\rho} \quad (1)$$

$$i\vec{k} \times \vec{E} = \vec{0} \quad (2)$$

Lösen:  $i\vec{k} \times (\tilde{\rho}) \stackrel{\text{Lorenz}}{\downarrow} i\vec{k} (i\vec{k} \cdot \vec{E}) + k^2 \vec{E} = \vec{0}$   
↑ (1) einsetzen

$$\Rightarrow \vec{E}(\vec{k}) = -\frac{i\vec{k}}{\epsilon_0 k^2} \tilde{\rho}(\vec{k})$$

Aufstieg:  $\vec{E}(\vec{r}) = \left(\frac{1}{2\pi}\right)^3 \int d^3k \, e^{i\vec{k}\vec{r}} \underbrace{(-i\vec{k})}_{= -\vec{\nabla} e^{i\vec{k}\vec{r}}} \frac{1}{\epsilon_0 k^2} \underbrace{\tilde{\rho}(\vec{k})}_{= \int d^3r' \, e^{-i\vec{k}\vec{r}'} \rho(\vec{r}')}$

$$= -\vec{\nabla} \int d^3r' \frac{1}{4\pi\epsilon_0} \underbrace{\left(\frac{1}{2\pi}\right)^3 \int d^3k \frac{4\pi}{k^2} e^{i\vec{k}(\vec{r}-\vec{r}')} \rho(\vec{r}')}_{\equiv \mathcal{K}(\vec{r}-\vec{r}') = \frac{1}{|\vec{r}-\vec{r}'|} \text{ (s.u.)}}$$

$$= -\vec{\nabla} \int d^3r' \frac{\rho(\vec{r}')}{4\pi\epsilon_0 |\vec{r}-\vec{r}'|}$$

Kugelcoord.  $\left( \mathcal{K}(\vec{r}) \stackrel{\downarrow}{=} \frac{2}{\pi} \frac{1}{r} \int_0^\infty dk \frac{\sin(kr)}{k} = \frac{1}{r}, \quad \boxed{FT \left\{ \frac{1}{r} \right\} = \frac{4\pi}{k^2}} \right)$

$\int_{-\infty}^{\infty} dx \delta(x) = \int dx \frac{1}{\pi x} \sin\left(\frac{x}{\epsilon}\right) = \frac{2}{\pi} \int_0^\infty dx \frac{\sin(x/\epsilon)}{x}, \quad x \rightarrow \epsilon k$

FT  $\rightarrow$  FR

$$f(x) - f(x+L) = 0$$

$$\frac{1}{2\pi} \int db e^{ibx} [1 - e^{ibL}] \tilde{f}(b) = 0$$

$$\text{Koeff-Vergl. : } [1 - e^{ibL}] \tilde{f} = 0$$

$$\tilde{f}(b) = \sum_n 2\pi c_n \delta(b - n \frac{2\pi}{L})$$

$$f(x) = \frac{1}{2\pi} \int db e^{ibx} \sum_n 2\pi c_n \delta(b - n \frac{2\pi}{L})$$

$$= \sum_n c_n e^{in \frac{2\pi}{L} x}$$

Maxwell-Gln. in Unterraum

(( Erinnerung: Intro Kap. 8, Skript S. 84:  $\vec{\nabla} \cdot \vec{E} = \rho$   $\vec{\nabla} \cdot \vec{B} = 0$   
 $\vec{\nabla} \times \vec{E} = -\dot{\vec{B}}$   $\vec{\nabla} \times \vec{B} = \vec{j} + \dot{\vec{E}}$  ))

setze  $\vec{E}, \vec{B}, \vec{j}$  4D-antreibelt em

$$\text{benutze } \left. \begin{array}{l} \vec{\nabla} \cdot \\ \vec{\nabla} \times \\ \partial_t \end{array} \right\} e^{i\vec{k} \cdot \vec{r} - i\omega t} \vec{E} = \left. \begin{array}{l} i\vec{k} \cdot \\ i\vec{k} \times \\ -i\omega \end{array} \right\} e^{-i\omega t} \vec{E}$$

$$\text{also } \vec{\nabla} \rightarrow i\vec{k}, \partial_t \rightarrow -i\omega$$

Koeff-Vergl. gibt also

$$\boxed{\begin{array}{l} i\vec{k} \cdot \vec{E} = \frac{1}{\epsilon_0} \vec{\rho} \quad , \quad i\vec{k} \cdot \vec{B} = 0 \\ i\vec{k} \times \vec{E} = i\omega \vec{B} \quad , \quad i\vec{k} \times \vec{B} = \frac{1}{c^2} \vec{j} - \frac{i\omega}{c^2} \vec{E} \end{array}}$$

$\Rightarrow$  Max ist nur noch System von Vektorgln.,

leicht auflösbar nach  $\vec{E}, \vec{B}$  (selber machen? Trick: z.B.  $i\vec{k} \times (\text{Oz})$ )

$\Rightarrow$  Aufstieg zur kausalen Lösung (selber?!)

füge "infinit. Leitfähigkeit (Reibung!) des  $\mathbb{R}^3$ " dazu,

$$\text{wie } \vec{j} \rightarrow \vec{j} + (\epsilon_0 c^2 \epsilon) \vec{E}, \quad \vec{j} \rightarrow \vec{j} + (\epsilon_0 c^2 \epsilon) \vec{E}$$



## Klausur - Hinweise

Di 17.7.07, 9.15 - 11.30, H6/H5

→ Perso-, Studi-Ausweis

20 Blatt Papier, je Name + Matr.-Nr. o. re.

Skript, Ü + eigene Lsn, Spitzettel, Schreib-buch

nicht erlaubt: Computer, Taschenrechner, Handy

Vorbereitung: zu jeder Ü: "was zu tun war" notieren

(Ü waren Trainingsprogramme

- und nun Di kommt der Test auf Ihre Fitness.)

Do im Tutorium → die dazu entstandenen Fragen

Mo abend: 17/17, Natural sortieren.

Di 9.15 kommen.

9.30 los - Überangebot  
davilleben.

nicht die Karte nach rechnen.

nicht fest rechnen. → "Kontanten"?

Wiederholung / Semester-Überblick

[ s. Kap. 6-10 ]

Plärcchen

$q$  in  $\vec{E}, \vec{B}$       $m\ddot{\vec{r}} = q(\vec{E} + \vec{v} \times \vec{B})$      z.B. "Elektron"

wurde Natur das?

minimale Zahl der Werte      $S = \int dt \left( \frac{m}{2} v^2 - q\phi + q\vec{v} \cdot \vec{A} \right)$

mehrere T.      $\sum_n \left( \frac{m_n}{2} v_n^2 - q_n \phi(\vec{r}_n, t) + q_n \vec{v}_n \cdot \vec{A}(\vec{r}_n, t) \right)$

Rel. ?      $\frac{1}{2} v^2 \rightarrow -mc^2 \sqrt{1 - \frac{v^2}{c^2}} \approx -mc^2 + \frac{1}{2} m v^2 + O(\frac{1}{c^2})$

andere Hälfte Theorie: Felder - auch? Max!

$$S_{\text{max}} = \int dt \int d^3r \left( -g\phi + \vec{j} \cdot \vec{A} + \frac{\epsilon_0}{2} (\vec{E}^2 - \vec{B}^2) \right)$$

oben:  $\sum_n (-q_n \phi + q_n \vec{v}_n \cdot \vec{A}) \rightarrow \int d^3r (-g\phi + \vec{j} \cdot \vec{A})$

genug! Natur-Kannnie erschöpft sich auf ein Formel-Symbol.

Ausblick

Theorie I (Lag, Ham, ED rel ...)

II QM

etc

verändert?! eigenes Skript

eben; rechnen; kämpfen; büßern

- es gibt nur eine Natur
- nur eine Physik
- nur eine Erde
- nur ein Leben

- nutzen Sie es !